

## 2.5 高エネルギー重イオン衝突による物理 Physics of High Energy Heavy Ion Collisions

高エネルギー重イオン衝突による物理ワーキンググループメンバー<sup>1</sup>

### 実験

郡司 卓	GUNJI Taku	代表、東京大学原子核科学研究センター
中條 達也	CHUJO Tatsuya	副代表、筑波大学
江角 晋一	ESUMI Shinichi	筑波大学
大山 健	OYAMA Ken	Heidelberg University
坂井 信吾	SAKAI Shingo	Lawrence Berkeley National Laboratory
坂口 貴男	SAKAGUCHI Takao	Brookhaven National Laboratory
志垣 賢太	SHIGAKI Kenta	広島大学
下村 真弥	SHIMOMURA Maya	Iowa State University
鳥井 久行	TORII Hisayuki	東京大学原子核科学研究センター
蜂谷 崇	HACHIYA Takashi	理化学研究所

### 理論

平野 哲文	HIRANO Tetsufumi	上智大学
福嶋 健二	FUKUSHIMA Kenji	慶應大学

### 世話人

早野 龍五	HAYANO Ryugo	東京大学
-------	--------------	------

<sup>1</sup>email address: wg04\_hehic@cns.s.u-tokyo.ac.jp

## 2.5.1 序

### 2.5.1.1 高エネルギー重イオン衝突の夢

原子核素粒子物理学の永きに亘る大きな目標として、自然を支配する基本法則、物質を構成する究極の基本要素および、ビッグバンから始まる宇宙の進化と物質創成機構の解明が挙げられる。これらの中にあって、高エネルギー重イオングループは、以下の夢を掲げて研究を推進する。

1. 物質創成機構の解明。初期宇宙での極限物質の様相とその進化の理解
2. 高密度 QCD 多体系の相構造の解明。高密度極限における物質の様相
3. QCD 真空の構造、ハドロン質量の発現機構の解明
4. 高強度ゲージ場と非平衡 QCD のダイナミクスの解明

図 2.5.1 に温度とバリオン化学ポテンシャルを変数にとった QCD 物質の相図 (理論予想) を示す [1]。QCD 真空はクォークとグルーオンが複雑に凝縮した状態である。QCD 真空は、高温高密度という極限状況下で様々な相転移を起こすことが示唆されている [1, 2]。格子 QCD 第一原理計算によれば、 $1.5 \times 10^{12}$  K 以上の超高温状態では QCD 真空がクロスオーバーを起こし、「クォークの非閉じ込め」と「カイラル対称性の回復」が実現したクォーク・グルーオン・プラズマ (QGP) が生成されると考えられている [3]。QGP はビッグ・バンから  $10\mu\text{sec}$  程度経った世界に存在していた極限物質状態であり、その後の初期宇宙の進化や物質創成を理解する上で非常に重要な相である。また、様々な有効理論計算によれば、有限密度下における QCD 物質は、QCD 臨界点 (線)、非一様相、非閉じ込め相転移とカイラル相転移の乖離、ダイクォーク凝縮相、クォーキオニック相などという非常に豊かな相構造を持つことが示唆されている。これらの相構造の解明は、中性子星やクォーク星といったコンパクト星の内部構造、これらの生成プロセス、宇宙における物質の起源や星の進化の理解に非常に重要である。また、ハドロンがどのような機構で質量を得るのか? という問い合わせに対して、未だ実験的検証は十分でなく、この問い合わせることも大きな夢である。これらの研究には、高エネルギー重イオン衝突が最適な実験的手法である。RHIC や LHC 加速器を用いた近年の高エネルギー重イオン衝突反応では、非常に短いタイムスケールでの局所熱平衡化が示唆されている。このような早い熱化を理解するためには高強度ゲージ場からの QCD 物質生成や平衡化過程の複雑なダイナミクスを解明する必要がある。

### 2.5.1.2 高エネルギー重イオン衝突の歴史

高エネルギー重イオン衝突は、高温高密度 QCD 物質を作り出す唯一の実験的手法である。1970 年代半ばの BEVALAC 加速器 (米国ローレンスバーカレイ研究所、実験室系エネルギー 2GeV/核子) にて原子核衝突の先駆的研究が行われて以来、1980 年代の AGS 加速器 (米国ブルックヘブン国立研究所、実験室系エネルギー 10-20GeV/核子) や SPS 加速器 (欧洲 CERN 研究所、実験室系エネルギー 160-200GeV/核子) における中間エネルギー重イオン衝突を経て、現在はブルックヘブンの RHIC 加速器 (2000 年 ~、重心系エネルギー 200GeV/核子) や CERN の LHC 加速器 (2009 年 ~, 重イオンは 2010 年 ~、重心系エネルギー 2.76, 5.5TeV/核子) での高エネルギー重イオン衝突が研究の中心となっ

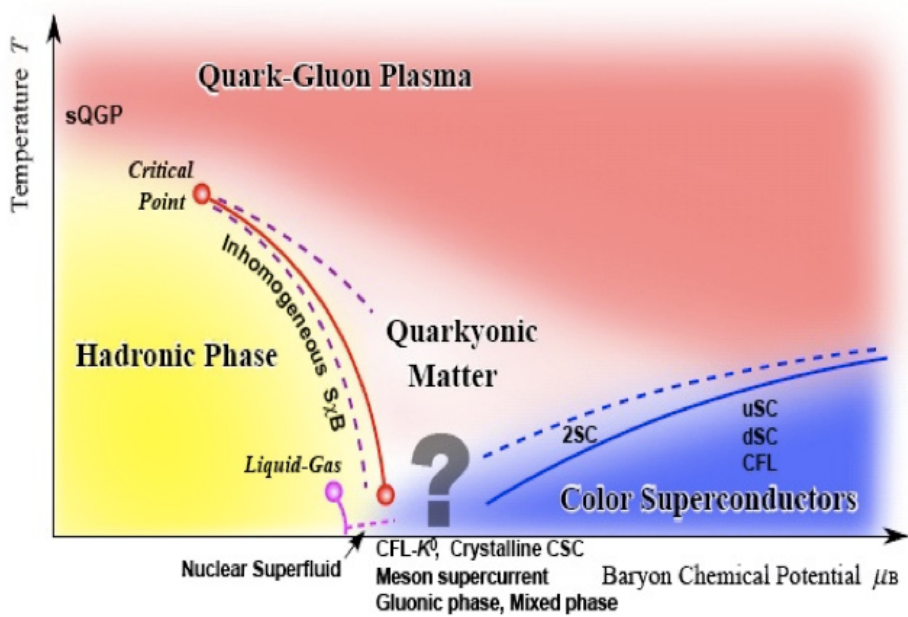


図 2.5.1: QCD 相図の温度やバリオン化学ポテンシャル依存性 [1]

ている [4]。また、将来計画の一つとして、高密度 QCD 相構造研究に向けた高・中間エネルギー重イオン衝突も、ドイツの GSI 重イオン研究所の FAIR 加速器およびロシアの JINR の NICA 加速器にて計画されている [5]。

### 2.5.1.3 日本グループの貢献

日本グループは BEVALAC 加速器から AGS そして SPS 加速器における重イオン衝突実験に参画し、長年に亘りこの分野を牽引してきた。現在は、京都大学、高エネルギー加速器研究機構 (KEK)、筑波大学、東京大学、東京工業大学、長崎総合科学大学、広島大学、理化学研究所、立教大学が、RHIC で行われている国際共同大型実験 PHENIX 実験<sup>2</sup>に参加しており、RHIC における QGP 物理やスピン物理を先導している [6]。筑波大学、東京大学、広島大学の日本グループは CERN-LHC で行われている国際共同大型実験 ALICE 実験<sup>3</sup>に参加し、LHC エネルギーでの重イオン衝突を通じた QGP の物性研究を展開している [7]。

理論においても日本の研究者は QGP や重イオン衝突の物理に多大な寄与をしてきた。南部による対称性の自発的破れと核子の質量獲得機構は、現代的な観点では QCD のカイラル対称性の動的破れと構成子クォークの質量獲得と解釈できる。1980 年代に初田と国広は、この観点から QCD 物性論の幕開けとなる先駆的研究を展開した。その後、QCD 相図上に臨界点が存在する可能性を最初に指摘

<sup>2</sup>13ヶ国、60 研究機関、600 研究者が参加。PHENIX 実験の成果として、これまで 100 本以上の学術論文を出版し、総引用数は 1 万件を超える。また、100 本以上の博士論文が提出されている

<sup>3</sup>33ヶ国、113 研究機関、1000 研究者が参加。

したのは浅川と矢崎である。歴史的には 1970 年代初めにクォーク物質が中性子星内部に存在し得ることを予言した一人が伊藤である。まだ大型加速器もなく、宇宙線における多重発生現象を解析していた 1950 年代、磯、森、並木はランダウ流体モデルの場の理論的基礎づけを行った。1980 年代以降、重イオン衝突における QGP 生成のシグナルとして、松井と Satz は  $J/\psi$  粒子の抑制現象を提案し、これは現在も QGP をプローブする強力な手段である。橋本、宮村、広瀬、神吉も同時期に有限温度媒質中の  $J/\psi$  の質量変化を提案し、ハドロンスペクトルの変化の先駆的な研究を行った。

### 2.5.1.4 研究テーマ, Key Figure

上記で掲げた夢を受けて、以下のテーマに関する実験研究を推進する。

- QGP 物性の精密研究、熱平衡化機構（ゲージ場のダイナミクス）の研究
- 有限密度 QCD 相構造の研究
- カイラル対称性の回復現象の研究

高エネルギー重イオングループの将来計画の Key Figure を図 2.5.2 に示す。エネルギーフロンティア (RHIC/LHC) では、QGP 物性の精密研究、高強度ゲージ場のダイナミクスの研究やカイラル対称性の回復現象の研究を推進する。高インテンシティ重イオン衝突 (RHIC/FAIR/J-PARC) では、有限密度 QCD 相構造の研究やカイラル対称性の回復現象の研究を推進する。他のワーキンググループ (WG) で議論される物理との関連性を QCD 相図上に示したものを見図 2.5.3 に示す。高エネルギー重イオン WG は、極限状態における QCD 多体系の物性研究に特化することで、他の WG とは独立したユニークな立場を取っている。

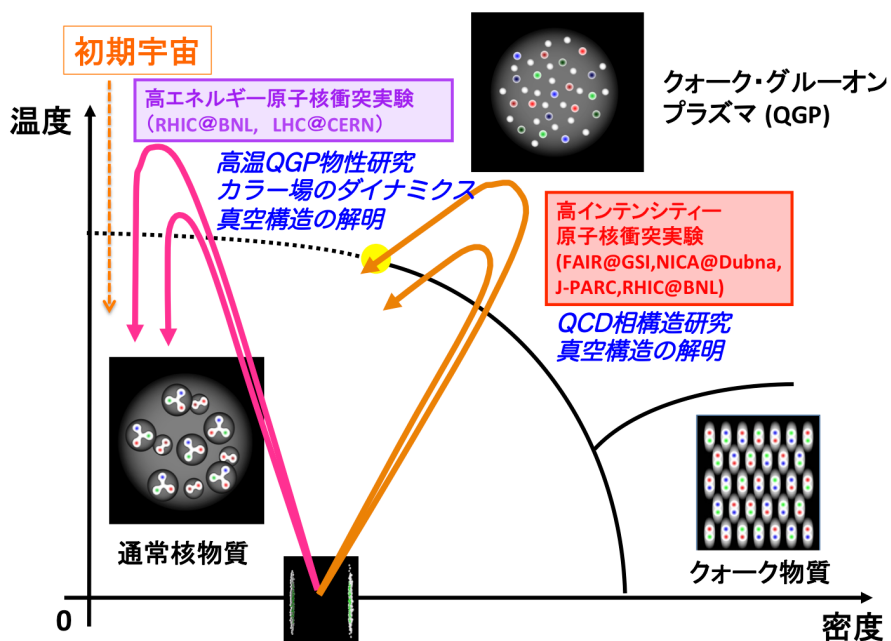


図 2.5.2: 高エネルギー重イオングループの Key Figure。

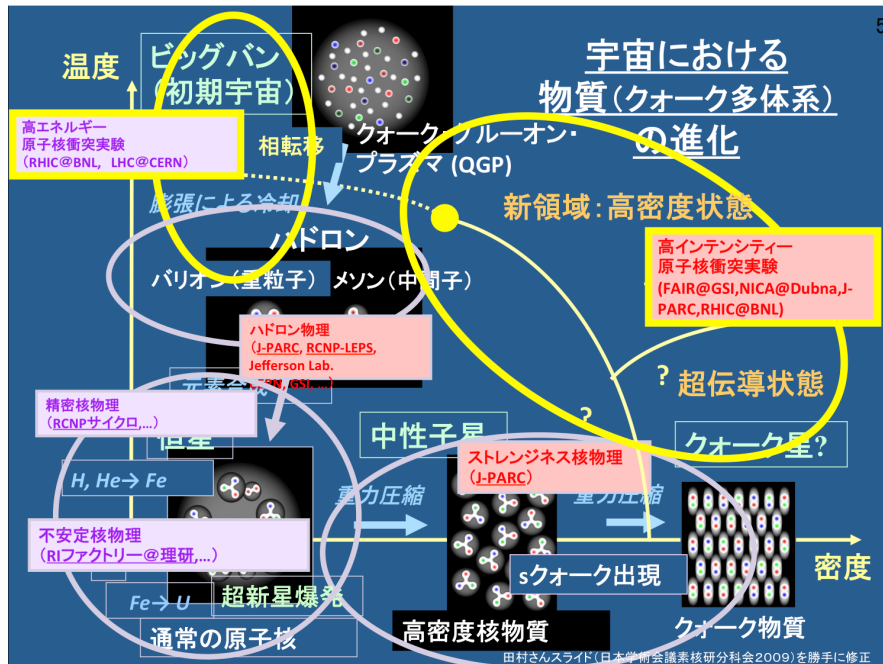


図 2.5.3: QCD 相図における他の WG との関連性。文献 [8] の図を修正

## 2.5.2 最近の進展

上で掲げた研究項目に関する、ここ 10 年の進展、現状を纏める。

### 2.5.2.1 QGP 物性の精密研究、熱平衡化機構の研究

#### 研究の目標

これまで QGP 探索を目的として AGS/SPS/RHIC 加速器で高エネルギー重イオン衝突実験が行われてきた。次の「研究の現状」で述べる通り、様々な測定量を通じて、QGP 生成に対する実験的証拠が得られている。様々な衝突エネルギー、衝突核種などの系統性や、以下に挙げるような物理量の精密測定を通じた QGP 物性の包括的理説へと進むべき段階にきており今後は QGP の「発見」から「精密研究」へと展開すべきである。そのためには QGP の生成機構、熱平衡化機構の理解を深めることも重要である。QGP 物性の精密研究の目標は、QGP 物性量 (粘性、輸送係数、阻止能、遮蔽長、相関長など) の密度、温度依存性を明らかにすることである。熱平衡化機構の研究目標は、衝突初期に現れる高強度カラー場のダイナミクスの理解を通じて QGP への熱平衡化機構を解明することである。

高エネルギー重イオン衝突は非常に複雑な時空発展を伴う極めて動的な過程である。その中から QGP 物性の物理量を引き出すには、高エネルギー重イオン反応のダイナミクスを定量的に記述する理論的枠組みが必要である。その枠組みとして、状態方程式を与える格子 QCD 計算、熱平衡化以降の時空発展を記述する相対論的流体力学、高エネルギー QCD 反応や熱化のダイナミクスに不可欠なグルーオン発展方程式、また高グルーオン密度状態を記述するカラーグラス凝縮の理論などがある。また実験的プローブとして有効なハード過程の記述に摂動的 QCD(pQCD) 計算も欠かせない。さらに、強結合系プラズマ物性に対してゲージ理論と重力理論との双対関係 (AdS/CFT 対応) の有用性も

近年では盛んに議論されている。QGP 物性の定量的理験や熱化機構の解明には、実験結果と共に、これらの理論的・現象論的な発展が必要不可欠である。

### 研究の現状

2000 年に RHIC が稼働して以来、RHIC では核子あたりの重心系エネルギー ( $\sqrt{s_{NN}}$ ) が 200GeV, 130GeV, 62.4 GeV, 39 GeV, 11GeV, 7.7GeV の金・金衝突や銅・銅衝突、これらの比較対象実験として  $\sqrt{s_{NN}} = 200\text{GeV}$  の重陽子・金衝突が行われてきた。LHC では 2010 年に  $\sqrt{s_{NN}} = 2.76\text{TeV}$  の最初の鉛・鉛衝突が行われた。ここでは、QGP 物性研究への足がかりとして、QGP 生成の根拠となる実験結果を挙げる。

#### • エネルギー密度

重イオン衝突における Bjorken エネルギー密度は、全横方向エネルギー ( $dE_T/dy$ ) の測定から求められてきた。この決定には他の因子として QGP の生成時間 ( $\tau_0$ ) が必要であり、この値は未だ正確には決まっていないが RHIC エネルギーで  $\tau_0 = 0.2 - 0.6\text{ fm}/c$  と考えられている(図 2.5.7 参照)。これを基に、エネルギー密度は RHIC では  $9-27\text{ GeV/fm}^3$ 、LHC では  $27-80\text{ GeV/fm}^3$  と求められている [9, 10]。格子 QCD 計算から得られた非閉じ込めクロスオーバーの臨界エネルギー密度 ( $1\text{ GeV/fm}^3$ ) より十分に大きなエネルギー密度が達成されており、QGP 生成に必要な条件が満たされている。

#### • 運動学的凍結、動径方向のフロー

運動学的凍結とは、系の時空発展途上で生成されたハドロン間の弾性散乱が終わり、ハドロンの運動量分布が固定されることである。 $\pi^\pm/\text{K}^\pm/\text{p}^\pm$  の横運動量分布を Blast wave model(熱平衡分布に動径方向への膨張を入れたモデル) で同時フィットをすることで、運動学的凍結時の温度と動径方向のフローを決めることができ、RHIC の中心衝突では凍結温度 = 100 MeV、動径方向フローの速度  $< v/c > = 0.60$  となっている。一方、終状態のハドロン分布をよく再現する流体計算からは、凍結温度は 110-120 MeV 程度、フローの速度は 0.5 程度が得られている [9]。LHC では凍結温度は同様であるが、動径方向のフローは  $< v/c > = 0.66$  と RHIC より大きなフローが観測されている [11]。このような集団運動の発見は、少なくともハドロン相まで冷えた時点での熱平衡に達していることを意味する。

#### • 化学的凍結

化学的凍結とは、QGP からハドロンが生成され、ハドロン間の非弾性散乱が終わり、ハドロンの粒子数・組成比が固定されることである。高エネルギー重イオン衝突におけるハドロン生成比は統計モデル(パラメタ: 化学凍結温度、バリオン化学ポテンシャル)で非常に記述することができ、化学凍結温度は 160-180 MeV 程度、バリオン化学ポテンシャルは 10-25 MeV 程度と分かっている。

この結果から、系の時空発展上で少なくとも系の平均温度として 160-180 MeV 以上の物質が出来ていることが明らかになった。これは QGP の臨界温度とほぼ同程度の温度である。また、RHIC エネルギーでは、初めてストレンジネスを含むハドロンも化学平衡に達していることが明らかになっており [9]、そのための物理的機構として、QGP 中のグルーオンからストレンジクォーク対を生成する ( $gg \rightarrow ss$ ) 反応などが考えられている。

- 高横運動量ハドロンの収量抑制とグルーオン密度、阻止能、輸送係数

RHIC/LHC での QGP 物性研究では、AGS/SPS では非現実的であった、高横運動量パートンや重クォークといったハード過程が、プローブとして利用できることが分かった。RHIC や LHC での重イオン衝突では、高横運動量のハドロン、重クォーク、ジェットの収量が、陽子・陽子衝突から予想される収量よりも大きく抑制されること、またジェット対相関が、高エネルギー重イオン衝突で出来た物質との相互作用により変化を受けることが、明らかになった（図 2.5.4、図 2.5.5）。

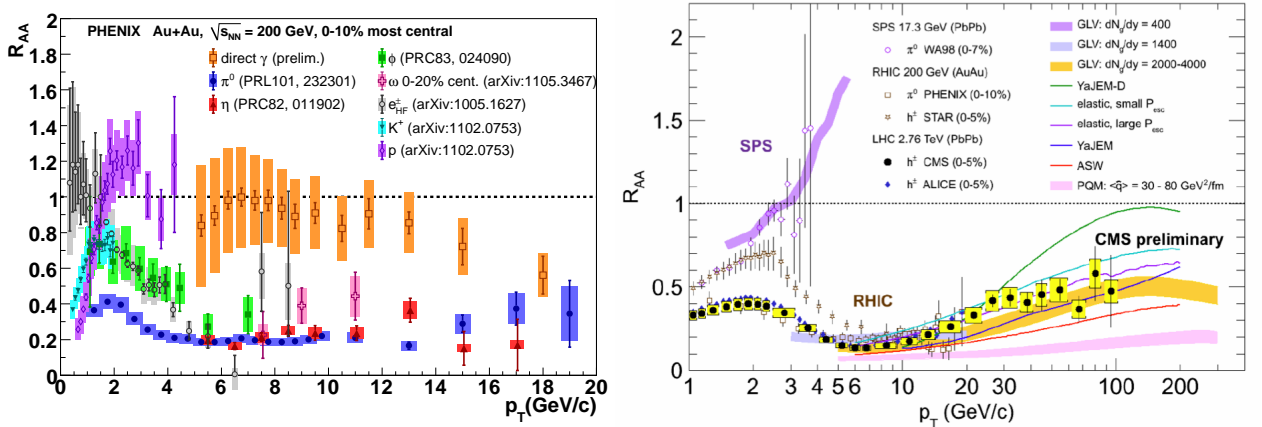


図 2.5.4: RHIC-PHENIX 実験で測定された様々 図 2.5.5: LHC で測定された荷電ハドロンの  $R_{AA}$  のな粒子に対する  $R_{AA}$ <sup>5</sup> の横運動量 ( $p_T$ ) 依存性 横運動量依存性

これは重陽子・金衝突では見られなかった現象であり、このことから、収量抑制は衝突始状態ではなく、衝突後の物質生成に伴う効果であることが結論付けられた。また、衝突初期のハード過程に由来する直接光子に対しては、収量抑制は見られなかった。観測された高横運動量ハドロンの収量抑制 (jet quenching) を説明するためには、高エネルギーパートンが高密度物質中でグルーオン制動放射や衝突過程を通じてエネルギー損失する効果を取り入れた解析が必要であり、このことはカラー自由度が解放された高密度物質の生成を意味する。抑制量から高密度物質中のグルーオン数密度、パートン阻止能や輸送係数といった力学量を議論できるようになり、様々な実験結果 (収量抑制量の中心衝突度依存性、横運動量依存性、飛距離依存性、対相関 away-side 収量) を再現するには、弱結合から期待される輸送係数ではなく、強結合系での輸送係数が必要であることまでは分かっているが、エネルギー損失機構が十分に解明されていないことや QGP 初期時間の不定性により、輸送係数を定量的に推定することは現状では難しい [12, 13, 14, 15]。

LHC では、高横運動量ハドロン測定に加えて、初めて重イオン衝突においてジェットの再構成と収量測定が行われ [16]、ALTAS/CMS では、100-200GeV のジェットに対して  $R_{AA} = 0.5$  の抑制を測定した。CMS では、ジェットとハドロンの相関を測定し、ジェットによって失われたエネルギーが大角度方向のソフト粒子生成に使われていることが分かった。エネルギー損失機構の理解に更なる進展が期待される。

<sup>5</sup>金・金衝突における粒子収量を陽子・陽子衝突における収量 × 平均核子衝突回数で割ったもの。1 と無矛盾であれば、収量は陽子・陽子衝突の重ね合わせで記述される。1 より小さければ、収量が抑制されていることを示す。

- クオーコニウム収量抑制

QGP 生成の有力な証拠と考えられてきたのが、 $J/\psi$ ,  $\Upsilon$ などのクオーコニウム（重い同種クォーク・反クォークからなる中間子）の抑制である [17]。 $J/\psi$  や  $\Upsilon$  は質量が大きいので反応初期にのみ生成され、大きな結合エネルギー故にハドロンとの相互作用では容易に分解しない。しかし、QGP が形成されれば、媒質中のデバイ遮蔽効果によって、 $J/\psi$  や  $\Upsilon$  が結合状態として存在できなくなり、結果として収量が抑制される。その抑制開始温度はクオーコニウム系の半径、束縛エネルギーに依存するため、様々なクオーコニウムを測定することで QGP の到達温度を検証することが出来る。RHIC の金・金中心衝突では、陽子・陽子衝突から予想される収量の  $1/4$  まで  $J/\psi$  収量が抑制されていることが分かり、LHC では加えて  $\Upsilon(2S + 3S)$  の大きな抑制も確認されている [18, 19]。この抑制量は原子核核子内のグルーオン分布の変化では説明することができず、高温・高密度の QGP 生成を強く示唆している。しかし QGP 中のクオーコニウム抑制温度の理論計算に関しては、ゼロ温度で大きな成功を収めているポテンシャル模型が役に立たないことが格子 QCD 計算から分かっており、定量性を高めるためには理論の進展が不可欠である。

- 熱的光子測定と初期温度

QGP の温度を測るプローブとして、熱的光子や熱的電子対が挙げられる。熱的光子の発生量とそのエネルギー分布は、系の自由度や生成された物質温度の時空発展を反映する。RHIC エネルギーにおいては、PHENIX 実験が高エネルギー光子の電子・陽電子への内部変換過程を利用して熱的光子由来の電子対を測定した。光子の横運動量分布から平均温度を見積もると約 220 MeV であることがわかり、格子 QCD 計算で知られている臨界温度 150MeV を十分に超えている。（図 2.5.6 参照）[20]。また、流体計算を基にしたモデル計算を用いて、系の初期温度と生成時間の相関を出すことに成功した（図 2.5.7 参照）。今後は熱的光子の方位角異方性 ( $v_2$ ) の測定から QGP 生成機構や初期状態について更なる理解が進むものと期待されている [21]。

- 集団的フローの測定と粘性比（ずれ粘性とエントロピー密度との比、 $\eta/s$ ）

衝突反応面に対する粒子の集団的フロー<sup>6</sup>の測定を通じて、QGP の比粘性を算出する試みが行われて来た [9]。RHIC の金・金衝突では、非常に大きな橢円フローが測定され、その運動量依存性はハドロンの構成クォーク数でスケールしていることが分かり、集団運動がハドロンレベルでなくパートンレベルで起こっていることが明らかになった（図 2.5.8、図 2.5.9）。橢円フローの大きさは、QGP 物質の比粘性に強く依存し、その大きさは、比粘性が小さい理想流体を仮定した計算結果と良い一致を示した（図 2.5.8）[9]。これは、生成された物質の性質を明確な形で示した最初の例であり、生成された物質が、理想気体的なものではなく、むしろ相関の強い流体的なものであることを示している。橢円フローの測定から、 $\eta/s = (1 - 2.4) \times \hbar/4\pi k_B$  と推定されているが、正確な値は衝突初期条件に強く依存することが分かっている [22]。現在、 $v_2$  やより高次 ( $v_3, v_4$ ) 成分の角度分布の系統的な測定が進められ、異なる理論的シナリオに基いた初期条件を用いた流体計算との比較・検証が進められている [23, 24]。

LHC でも、橢円フローや高次フローの測定が進められている。橢円フローの  $p_T$  依存性は RHIC と殆ど同じであることが分かった。

<sup>6</sup>このフローは衝突反応面に対する放出粒子の角度分布  $dN/d\phi \propto (1 + 2v_2 * \cos(2\phi) + 2v_3 \cos(3\phi) + 2v_4 \cos(4\phi) \dots)$  の高次フーリエ成分 ( $v_n$ ) で検証されてきた。 $n = 2$  が橢円フローであり、現在は高次フロー ( $n = 3, 4, 5, 6, \dots$ ) の解析が進んでいる。

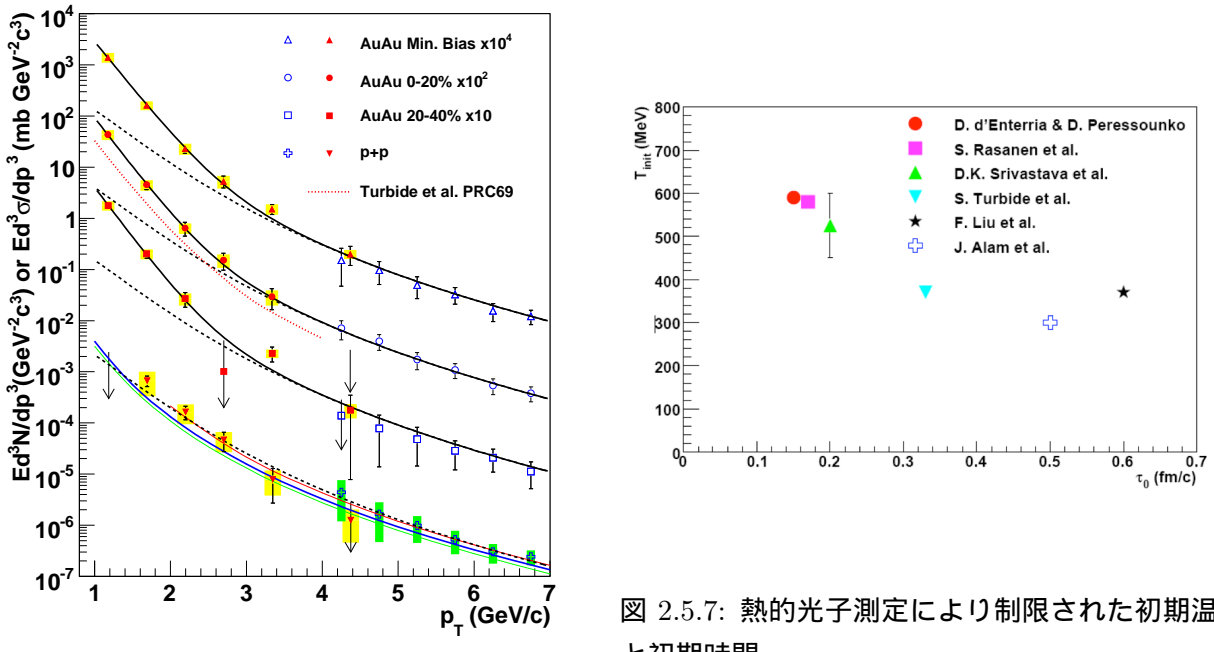


図 2.5.6: 仮想光子崩壊からの電子対測定で得られた光子の横運動量分布 [20]

上述の高次フローは、ラピディティ方向への長相関であるリッジ現象や 2 粒子相関における away-side の 2 ピーク構造、および、LHC での高多重度陽子・陽子衝突におけるリッジ現象との関連性もおいても、重要な測定量である。

図 2.5.10 は様々な測定を通じて推定された  $\eta/s$  であり、図 2.5.11 は色々な物質における  $\eta/s$  の相転移近傍での振舞である。

以上の結果を基に、QGP 生成のチェックリストとして重要な、”非閉じ込め臨界点を超えるエネルギー密度/温度が達成されているか(全横エネルギー測定、クオーコニウム測定、光子測定、高横運動量ハドロン測定)”、”衝突エネルギーが熱エネルギーに転化しているか(粒子生成比)”、”局所熱平衡系が作られているか(集団的フロー測定、相対論的流体力学による記述)”、の全てが実験的に確認されたと結論される。

### 2.5.2.2 有限密度 QCD 相構造の研究

#### 研究の目標

極限状況下でのハドロン多体系に関する重要な研究テーマの一つが有限温度や有限密度における QCD 相図の決定である。RHIC や LHC で実現される高温度・低バリオン密度領域における QCD 物質の静的性質は格子 QCD 計算で検証可能であるが、高密度側では、例えば QCD 臨界点の存在をとっても、様々な有効模型によってその存在が議論されているものの、第一原理から出発する格子ゲージ理論による検証は、深刻な符号問題のために確定的段階に至っていない。様々な有効模型によれば、QCD 臨

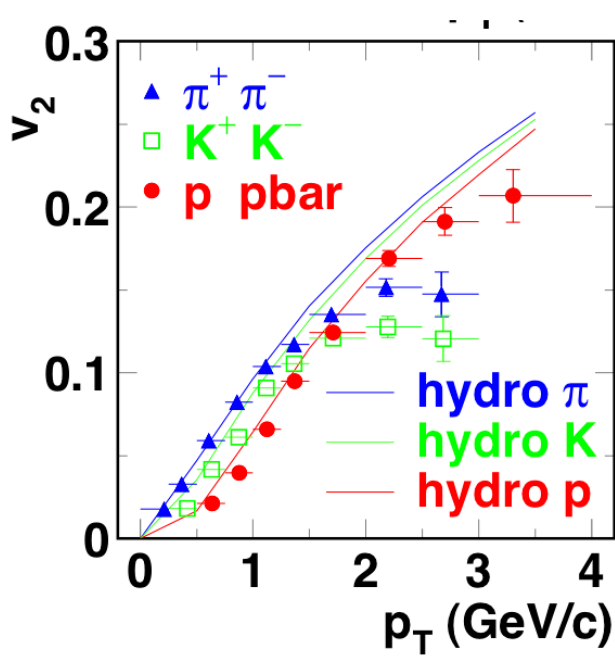
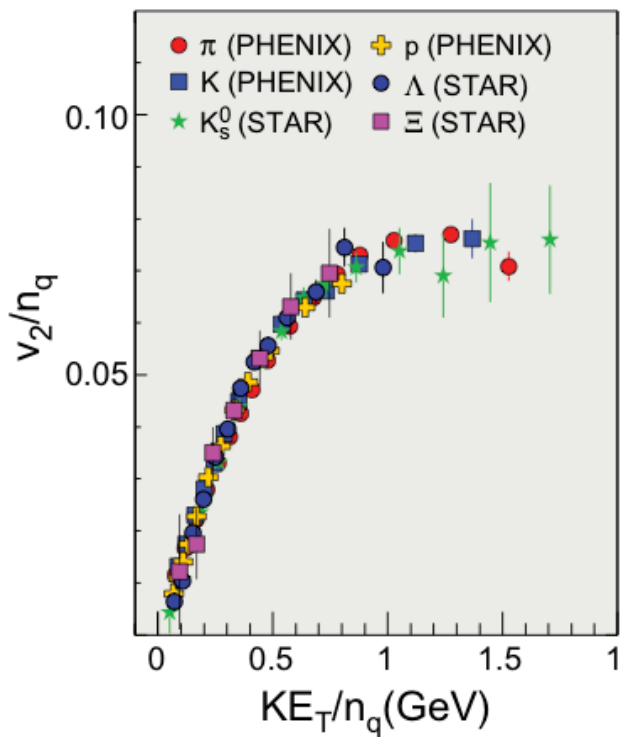
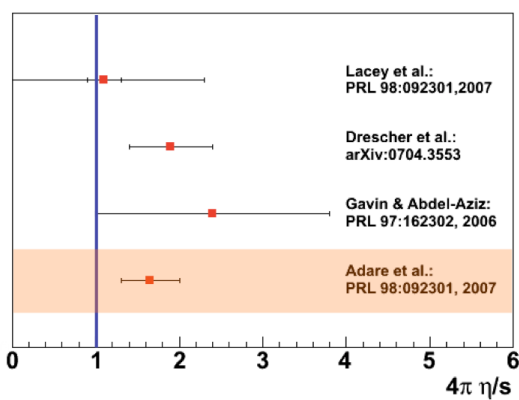

 図 2.5.8:  $v_2$  の  $p_T$  依存性と流体モデル計算 [9]

 図 2.5.9:  $v_2$  のハドロン構成数でのスケーリング [9]


図 2.5.10: 色々な測定を通じて推定された比粘性 [23]

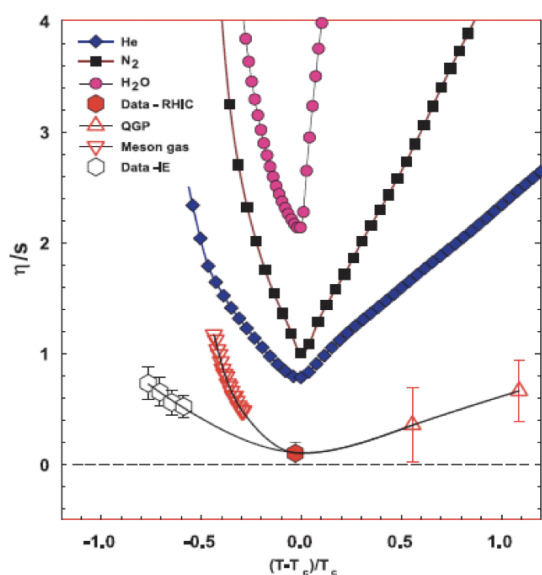


図 2.5.11: 色々な物質相に対する、比粘性の相転移温度での振舞。赤の六角形が RHIC での実験データ

界点(線)、非一様相、非閉じ込め相転移とカイラル相転移の乖離、ダイクォーク凝縮、ダイクォーク励起、クォーキオニック相などという多様な相構造の存在が示唆されている[1]。このように、有限密度におけるQCD物性やQCD物質の相構造は、未知なる研究テーマの沃野であり、実験的研究がこれらの理解に重要な指針を与える。重イオン衝突の衝突エネルギーを変化させることによって、生成されるQGP中のバリオン数密度をコントロールすることができる。この性質を利用し、温度と密度平面におけるQCD相構造を実験的に走査することが可能である。本研究の目標は、RHIC加速器、FAIR加速器やJ-PARC加速器で実現される高・中間エネルギーの重イオン衝突を通じて、高バリオン密度状態を生成し、衝突エネルギーを変えることで様々な有限密度QCD物質相を生成し、その相構造の系統的な理解を目指す。

#### 研究の現状

これらの系統的な実験研究には、最も高いバリオン密度を達成できる中間エネルギー( $\sqrt{s_{NN}} = 1 - 50 \text{ GeV}$ )での重イオン衝突が有効である。これまでRHIC-AGS加速器やCERN-SPS加速器を使い、核子あたりの重心系エネルギー5-20GeVで重イオン実験が行われてきた(E802, E866, NA44, NA49実験)[4]。これら一連の実験はQGP探索を意図したもので、必ずしもQCD相図の解明を主眼にした実験ではないものの、今後の指針に影響を与える重要な実験成果を出してきた。現在、QCD臨界点の探索、1次相転移に伴う混合相の探索などを目的として、CERN-SPSでNA61(SHINE)実験が進行中である[34]。

RHIC加速器でも、QCD臨界点の探索を目的にした中間エネルギー重イオン衝突が行われている(核子対あたりの衝突エネルギー62.4GeV, 39GeV, 27GeV, 19.6GeV, 11.5GeV, 7.7GeV)。今後はRHIC加速器の高輝度化のもと、様々な衝突エネルギーで重イオン衝突を継続する予定である。

これまでに得られた、高・中間エネルギー重イオン衝突実験の成果を纏める[9, 35, 40, 36]。

- フリーズアウト特性

様々な衝突エネルギーでの重イオン衝突で測定された粒子生成比と統計モデルより算出した化学凍結温度とバリオン化学ボテンシャルが図2.5.12に示されている[35]。これは、重イオン衝突によりプローブ可能な密度領域や温度領域を予想する上で重要なインプットである。また、AGSエネルギー以下では化学凍結温度と運動学的凍結温度が同じであるが、それ以上では両凍結温度に違いが出てくる(図2.5.13参照)[36]。

- 高バリオン密度物質の生成

図2.5.14は、陽子-反陽子多重度分布のラピディティ依存性である[37]。RHICエネルギー領域では、衝突する2つの原子核中のバリオンが互いにほとんどすり抜け、中央ラピディティ領域にはバリオン密度がほとんどゼロのQGPを生み出すことが出来るのに対し、AGS/SPSのエネルギーでは、中央ラピディティ付近に高いバリオン密度の状態を作ることが出来る。これは、高密度QCD物質生成に向けた足がかりとして重要な実験結果である。

- ストレンジネス生成

図2.5.15に $K^+/\pi^+$ 収量比の重心系エネルギー依存性を示す[38]。AGSエネルギー( $\sqrt{s_{NN}} \sim 10 \text{ GeV}$ )から $K^+/\pi^+$ 収量比が急激に増える。

理論的解釈はまだ完全に分かっていないが、 $K^-$ にはこのようなピーク構造は見えておらず、またネットなストレンジネスはゼロであることから、 $K^+/\pi^+$ 収量比増大は、系のバリオン数密度

によって誘起される。逆に  $K^+/\pi^+$  の測定から、高密度 QCD 物質の相状態について新しい知見が得られる可能性も議論されている [39]。

- フローの振舞

図 2.5.16 は、荷電粒子に対する  $\sqrt{s_{NN}} = 39, 62, 200 \text{ GeV}$  の  $v_n(n = 2, 3, 4)$  の横運動量依存性を示す。39GeV 以上ではフロー強度の衝突エネルギー依存性はほとんど見られない [24]。図 2.5.17 は、 $p_T$  で積分した  $v_2$  の重心系エネルギー依存性である [40]。高いエネルギー領域では平均  $p_T$  の上昇に伴って積分  $v_2$  も大きくなるが、AGS のような低いエネルギー領域では橿円的異方性の符号反転 (out-of-plane から in-plane へ放出粒子方位角の変化)(図 2.5.17) が起こる。

- 揺らぎの測定、高次モーメントの測定

QGP 相転移の次数やその相構造の情報が、高次モーメントを含めたバリオン数の揺らぎを測定することで得られる可能性が検討されてきた。RHIC におけるエネルギー走査実験を通じて、陽子数の揺らぎの測定が行われているが、測定が陽子に限られてしまっているため、相転移に付随する揺らぎの異常な振る舞いを何も見つけられていないのが現状である [41]。

また、SPS の NA49 実験が、重心系エネルギーにして 5 GeV 附近に  $K^+/\pi^+$  比やその揺らぎに大きな変化を測定しているが、RHIC での実験との再現性などを含め、確定的な結論に至っていないのが現状である [41, 42]。

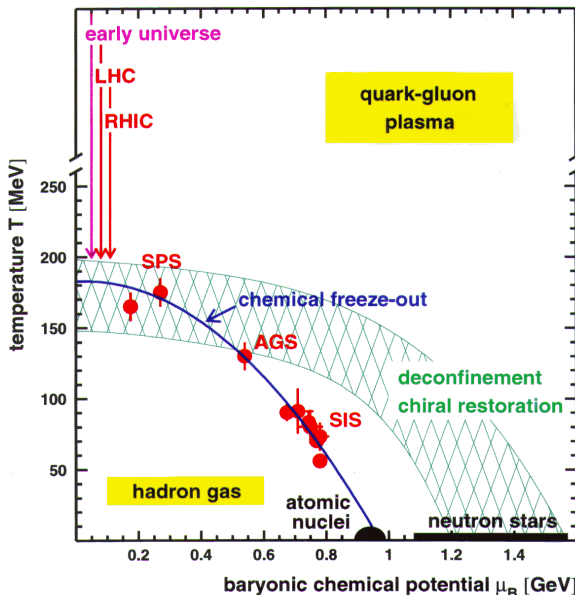


図 2.5.12: 粒子比と統計モデルで決定された化学凍結温度とバリオン化学ポテンシャル [35]

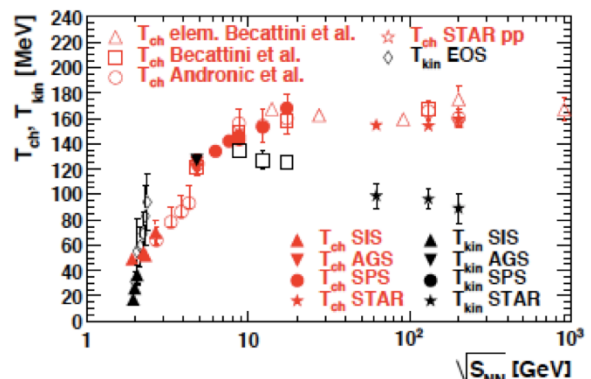


図 2.5.13: 化学凍結温度(赤)、運動学的凍結温度(黒)の衝突エネルギー依存性 [36]

臨界点や相転移に付随する事象の測定には、系の化学凍結が相転移近傍で起こる必要がある。

化学凍結前の系の動的な時空発展が相転移点近傍を通過する可能性も考慮して、今後は、バリオン数揺らぎ、フロー、粒子多重度のようなグローバルな測定量だけでなく、グローバルな測定量に基づく事象選択の下で、衝突初期に作られる重クォークなどの稀事象にも注目し、バリオン密度の大きな超前方

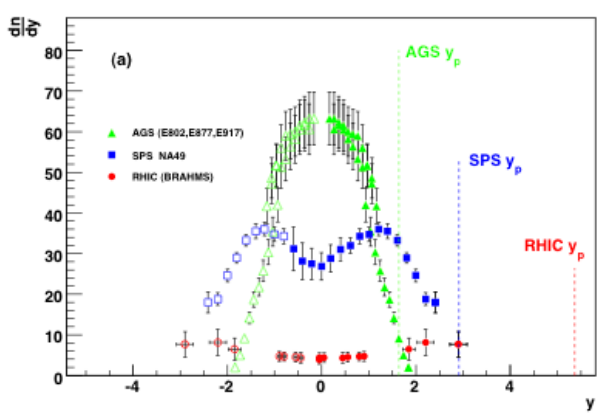


図 2.5.14: AGS/SPS/RHIC における net proton のラピディティ分布 [9, 37]

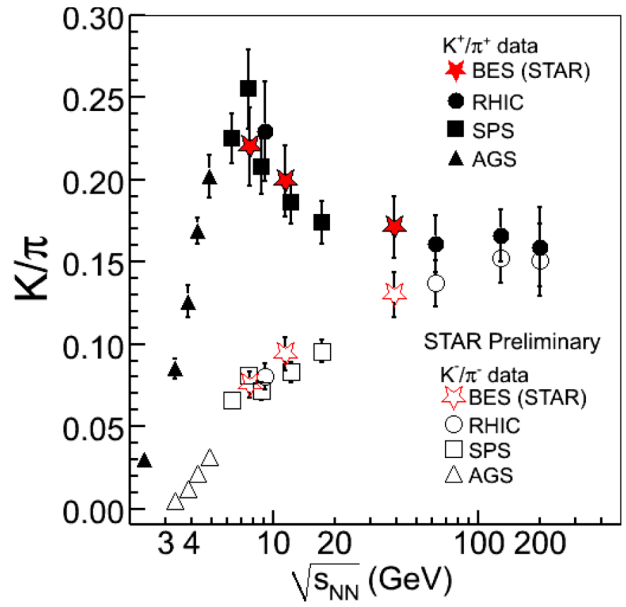


図 2.5.15:  $K/\pi$  粒子比の重心系エネルギー依存性 [38]

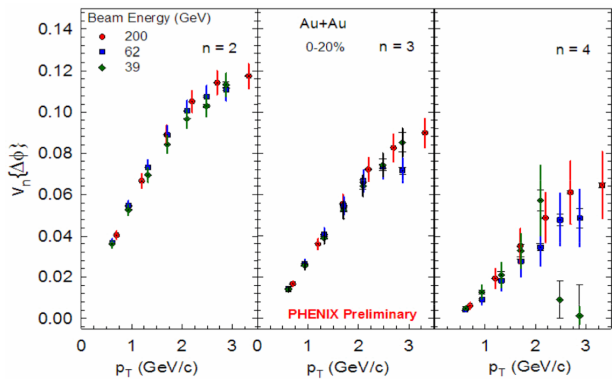


図 2.5.16: RHIC のビームエネルギーによる  $v_n(n = 2, 3, 4)$  の横運動量依存性と衝突エネルギー依存性 [24]

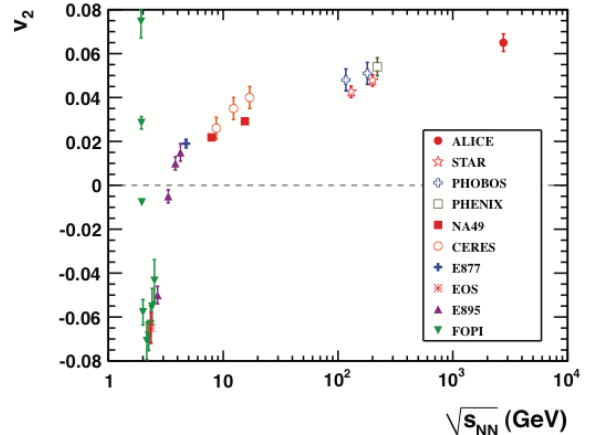


図 2.5.17: 方位角異方性の衝突エネルギー依存性 [40]

ラピディティでの測定なども含め、総合的なデータの積み上げを目指して実験遂行に当たって行くことが必要だと考えている。

### 2.5.2.3 カイラル対称性の回復現象に関する研究

#### 研究の目標

QCD 真空の構造解明とカイラル相転移時の構造変化の解明は、長年に亘る QCD 物理の重要な研究テーマである。非閉じ込め相転移とカイラル相転移は低バリオン密度ではほぼ同温度で起こることが分かっており、高エネルギー重イオン衝突はカイラル対称性の破れ/回復機構の研究に有効である。原子核内部でのカイラル対称性の”部分的”回復現象の探求と異なり、高エネルギー重イオン衝突は、動的な時空発展が解析を複雑にするものの、高温非閉じ込め相や、後に言及する高強度背景場の効果が、カイラル対称性の破れ/回復に大きな影響を及ぼす。特にカイラル対称性は、インスタントンに代表される QCD 真空構造と密接な関係を持っており、非閉じ込め相という極限的状況下を考えることによって、実験的に QCD 真空構造に対する知見が得られるものと期待されている。また、様々な中間エネルギーにおける重イオン衝突実験により、カイラル対称性の回復現象をバリオン数密度の関数として走査することは、前述の QCD 相構造研究にとって不可欠である。高・中間エネルギー重イオン衝突を通じて、カイラル対称性のより完全な回復現象に迫り、QCD 真空構造やハドロン質量の発現機構を探求することが本研究の目標である。

#### 研究の現状

これまで、重イオン同士や陽子・重イオン衝突において、レプトン対崩壊の測定を通じて、低質量ベクトル中間子の性質変化を直接的に見る試みが行われてきた [43]。原子核物質中の実験的研究として、陽子・原子核反応や光子・原子核反応を通じて、原子核内でベクトル中間子を作り、その核内崩壊を見る実験が核研 TAGX( $\gamma + A$ )、ELSA-TAPS( $\gamma + A$ )、KEK-E325( $p + A$ )、Spring8-LEPS( $\gamma + A$ )、JLab-CLAS( $\gamma + A$ ) で行われてきた<sup>7</sup>。KEK-E325 は、 $\omega/\rho$  より低質量側に優位な超過収量を測定し、 $\phi$  質量付近は、低い  $\beta\gamma$  成分に対して低質量側に超過収量が測定された。結果は初田・Lee の予想するベクトル中間子の質量変化と無矛盾であった [44, 45]。その一方で、JLAB-CLAS 実験はベクトル中間子の質量変化を棄却し、質量幅の変化を主張する実験結果を報告した。残念ながら、統一的な見解がないのが現状であり、今後は高統計による測定、様々な運動学依存性、反応学依存性を通じた系統的な研究が必要であると考えられる。

SPS や RHIC の高エネルギー重イオン衝突でも、精力的に低質量レプトン対の測定が行われてきた。SPS-CERES 実験では、重イオン同士衝突において電子対の低質量領域で大きな収量増大が測定されている [46](図 2.5.18、図 2.5.19 参照)。また SPS-NA60 実験においても、インジウム同士の衝突において収量増大が測定されている [47]。RHIC-PHENIX 実験からも、低質量領域に通常のハドロン崩壊からでは記述できない異常収量を測定している [48](図 2.5.20 参照)。CERES での結果は、 $\pi^+\pi^- \rightarrow \rho \rightarrow e^+e^-$  の過程でかつ  $\rho$  の幅が物質中で大きく広がっているというシナリオと無矛盾であるが、質量変化に関しては、議論できる統計精度がないのが現状である。PHENIX 実験で測定された異常収量は、熱的光子からの内部変換による電子対の寄与や  $\rho$  メソンの質量・幅の変化を考慮した様々なモデル計算をもってしても、完全に記述されるに至っていない。

<sup>7</sup>原子核中におけるカイラル対称性の部分的回復研究は、ハドロン物理 WG の主研究テーマの一つである。詳細はハドロン WG のレポートを参照されたい。

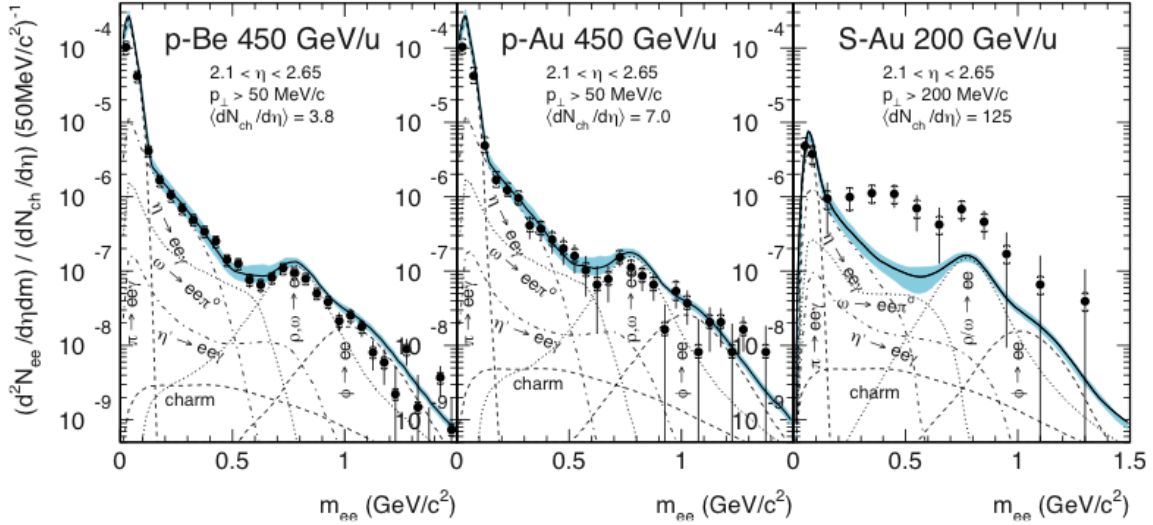


図 2.5.18: CERES 実験で測定された、様々な衝突系に対する電子対質量分布 [46]

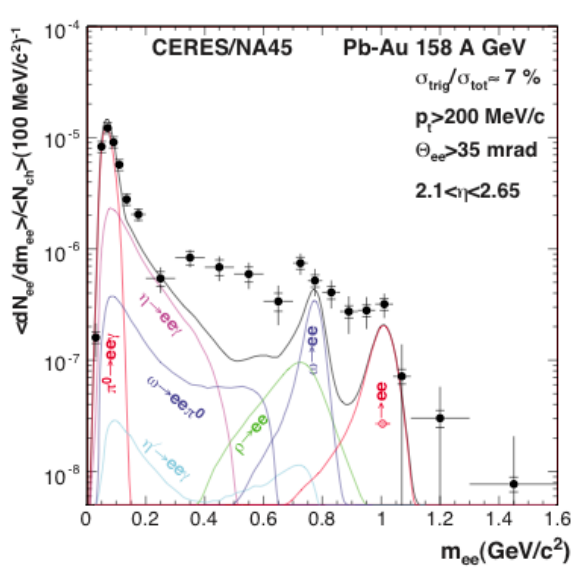


図 2.5.19: CERES 実験で測定された、Pb+Au 衝突における電子対質量分布 [46]

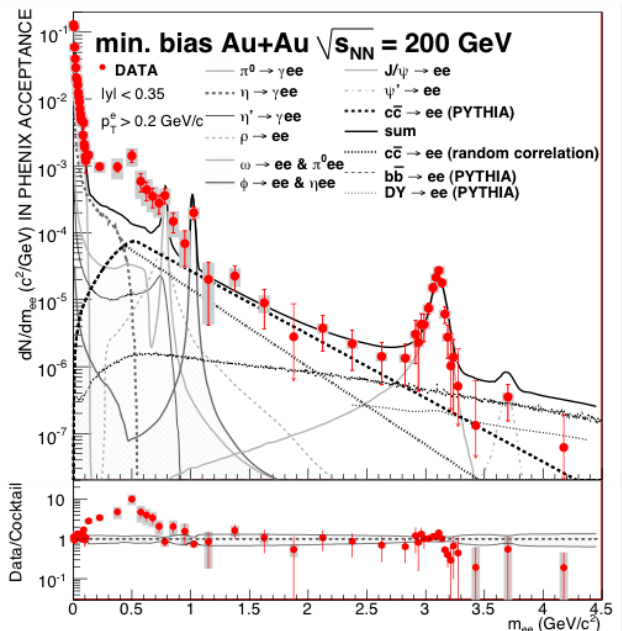


図 2.5.20: RHIC-PHENIX 実験の Au+Au 衝突における電子対質量分布 [48]

## 2.5.3 今後の展望

この章では、前章の最近の進展状況を踏まえ、今後の展望や取るべき方向性について纏める。

### 2.5.3.1 QGP 物性の精密研究、熱平衡化機構の研究

#### • 衝突初期条件の解明

比粘性が小さいという定性的な知見は得られたものの、その定量性は、衝突前の系の初期条件に強く依存する。流体計算の初期条件(初期エネルギー密度分布)には、大きく分けて、反応関与核子数を用いてパラメタ化する Glauber 初期条件か、高エネルギー極限(small  $x$ ,  $x \sim p_T/\sqrt{s} \leq 10^{-2}$ )で顕在化するであろうグルーオン飽和状態からパラメタ化するカラーグラス凝縮(CGC) 初期条件が用いられている。 $\eta/s$  の決定には系の初期条件の確定が必須であるが、現在の RHIC での実験結果の解析では初期条件を確定するに至っていない。

高エネルギー重イオン衝突における衝突初期条件は原子核内のパートン分布によって決定される。深非弾性散乱実験で測定された陽子内のパートン分布関数によれば、高エネルギー散乱で重要となる small  $x$  領域においてはグルーオン分布がクォーク分布を凌駕する [25]。LHC で到達できる小さい  $x$  領域( $x(\text{LHC}) \sim x(\text{RHIC}) \times 10^{-2}$ )では、より大きなグルーオン密度のために非線型性が大きくなり、グルーオン飽和状態が実現し易いと考えられている [26]。グルーオン飽和に関する定量的研究を実験的・理論的に進め、初期条件を確定することが重要である。

#### • 熱化機構の解明

衝突後、局所熱平衡状態が形成されるまでのダイナミクスは完全には理解されていない。流体モデル計算によれば、QGP 形成時間( $\tau_0$ )は  $0.2 - 0.6 \text{ fm}/c$  と考えられているが、多重ハードパートンの散乱で平衡状態に達するボトムアップ的なシナリオでは、この早期熱平衡化は説明できない。衝突後のダイナミクスや早期熱平衡化の有力なシナリオの一つが、(カラー)荷電粒子と(カラー)磁場とのフィードバックで生じるプラズマ不安定性と呼ばれる現象である。また同様の不安定性は CGC 初期条件においても発現する。即ち、まず衝突軸方向に高強度カラー電磁場が形成され、その背景場の効果でラピディティ依存の揺らぎが不安定性を生じ、結果として系の運動量分布を等方的にし、熱化を早めるというものである [27, 28]。この高強度カラー場のダイナミクスと QGP への早期熱平衡化の解明は、重イオンの時空発展の理解と強相關 QGP 物性の起源の解明に重要である。また、LHC では RHIC と異なり初期ハード散乱過程が非常に優位である。衝突直後に生成されるジェットと衝突直後のカラー場との相互作用および、その熱化への寄与は、高エネルギージェットの収量抑制、失われたエネルギーの振舞の理解にも重要である。

#### • 時空発展ダイナミクスの精密化

これまで適用してきた流体計算の初期エネルギー・エントロピー密度は Glauber 初期条件や CGC 初期条件に基づいた空間的に滑らかなものであった。しかし実際の高エネルギー重イオン衝突では、これらの密度分布は衝突イベント毎に空間的な揺らぎを持っており、この揺らぎは終状態の高次フローとして観測にかかる。現在、イベント毎に揺らぎを取り入れた流体計算 [29] や有限の比粘性値を入れた粘性流体計算 [30] の開発が進んでいる。実験結果との比較という観

点から、衝突初期や熱化機構を取り入れたイベント毎の粘性流体の発展と、QGP からハドロン相の転移(流体描像からハドロンカスケード、平衡化の破れ)を正確に記述する、理論モデルや現象論の充実が必要不可欠である。そのためには、系統的な実験研究が必須である。

これらの課題を受けて、以下の実験的取り組みを実行する。

- 様々な衝突システムでの高エネルギー重イオン衝突

様々な衝突エネルギーや衝突核種を用いた重イオン衝突を遂行する。多くの測定量を異なる衝突条件下で集め、時空発展のダイナミクスを完成させ、物理量の温度や密度依存性を算出することで、包括的な QGP の物性研究を展開する。

RHIC 加速器での重イオン衝突、特に  $\sqrt{s_{NN}} = 7.7 \text{ GeV}$  から  $200 \text{ GeV}$  までの衝突エネルギーにて、金・金衝突、ウラン・ウラン同士衝突や金・ウラン衝突を行い、同時にビームの高輝度化へのアップグレードを推進する。また、LHC での最高エネルギー重イオン衝突も同時に進め、 $\sqrt{s_{NN}} = 2.76 \text{ TeV}/5.5 \text{ TeV}$  の鉛・鉛衝突や陽子・鉛衝突、軽い原子核衝突実験を遂行する。これらの研究と並行して物理測定強化のための実験アップグレード計画を進める。

- 大きなラピディティ範囲での実験測定

衝突初期条件の定量的な評価や衝突直後のダイナミクスの理解に向けて、大きなラピディティ領域における粒子生成の測定を進める [31]。 $x \leq 10^{-2}$  での原子核中グルーオン分布の評価とラピディティ方向 ( $\Delta y$ ) の長距離粒子相関を通じた衝突直後 ( $\tau \sim \tau_0 \exp(-\Delta y/2)$ ) のダイナミクス研究を進める。

- 類似プローブ、時間断片撮像的なプローブの活用

QGP 物性の研究や時空発展の完全理解に、異なる重心系エネルギーと異なる衝突システムにおいて、類似なプローブを使った比較測定が重要である。RHIC と LHC で類似プローブを用いた測定を進めるべく、RHIC-PHENIX 実験の次期計画 [32] や LHC-ALICE のアップグレード計画 [33] に参与する。

これまで色々なプローブを使って物性研究を進めてきたが、多くのプローブは最終的には系の時空発展の影響を色濃く受けてしまう。これに対し、時間断片的に QGP が撮像できれば、QGP 物性の詳細下とその時空発展を直接的に議論することができ、非常に有意義である。時空発展の各ステージに起源を持ち、系に対して透過的なレプトンや光子を軸とした測定を進めたい。

### 2.5.3.2 有限多体系 QCD 物質の相構造の研究

この研究には、幅広い衝突エネルギーの下で重イオン衝突を行うことが重要である。理論的にも実験的にも未踏の地である高密度 QCD 物質の探索を目的として、AGS-SPSあたりの衝突エネルギーが重要であり、RHIC 加速器(BNL)、NICA 加速器(JINR)、FAIR 加速器(GSI)、J-PARC 加速器が主要研究施設となる。各々がカバーできる衝突エネルギーとフリーズアウト時の  $(T, \rho)$  をプロットしたのが図 2.5.21 である [49]。このうち、RHIC と NICA は衝突型加速器で、FAIR と J-PARC は固定標的型加速器である。RHIC や NICA では、衝突エネルギーを走査しながらグローバルな測定を中心

的に進め、FAIR や J-PARC では、ビームの大輝度性を生かした稀事象を含む包括的な測定を進めていく。

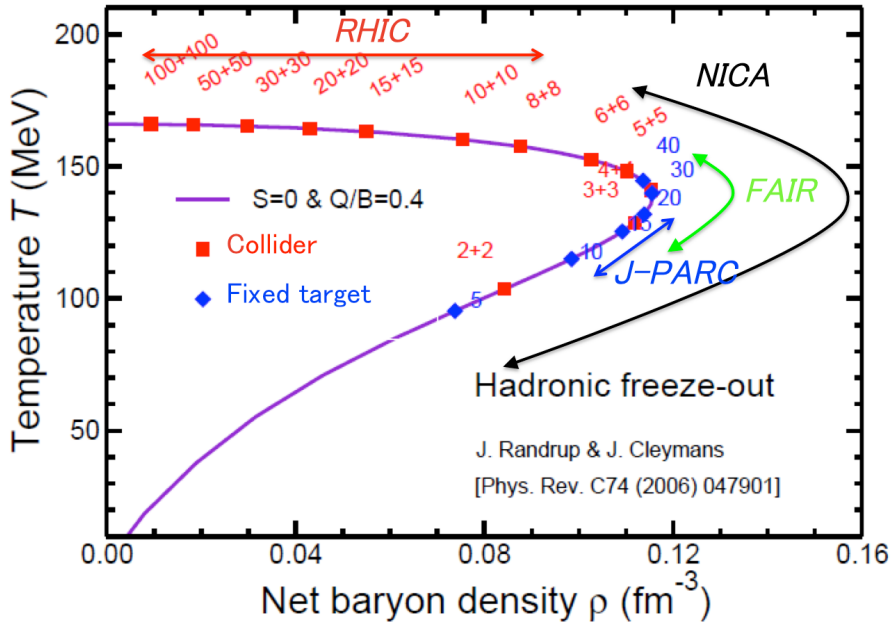


図 2.5.21: 様々な衝突エネルギーにおけるフリーズアウト時の温度と net バリオン密度の相関図。RHIC, NICA, FAIR, J-PARC がカバーできる衝突領域も示している [49]

本研究を展開する上で重要な問題が「何を測定すればいいのか？それを測定すると何が分かるか？」という問い合わせに対して、明確な理論的回答を与えることが困難な点である。事象毎のバリオン数などの揺らぎや揺らぎの高次モーメントの測定などが有力なシグナルとして盛んに研究されているものの、これらを明確な信号として捉えるには、系の化学凍結と相転移点（線）との相対位置関係が重要である。FAIR や J-PARC のエネルギーはまさに SPS や AGS のエネルギーであり、これまでの先行研究と異なる新たな視点が必要である。従来の AGS での実験結果は、低運動量ハドロンの測定が主であり、系の初期状態に敏感な稀少プローブや透過プローブを使った実験は存在しない。しかし、その後の SPS/RHIC での実験結果から、ハード過程やレプトン測定といった稀少プローブの重要性が明らかとなっている。図 2.5.22 と図 2.5.23 は、様々な衝突エネルギー（実験室系、固定標的）における系の時空発展の予想ラインである [50, 51]。衝突後の時空発展上で多様な QCD 相構造が顕在化する可能性があるため、衝突初期に生成され、その後のダイナミクスを反映するプローブや、光子・レプトンなどの透過的なプローブを利用してことで、新しい物質相や相構造の研究に実験的な筋道を与える可能性がある。FAIR や J-PARC の高いルミノシティを活かし、SPS や AGS で出来なかった希少・透過プローブの測定を進めたい。

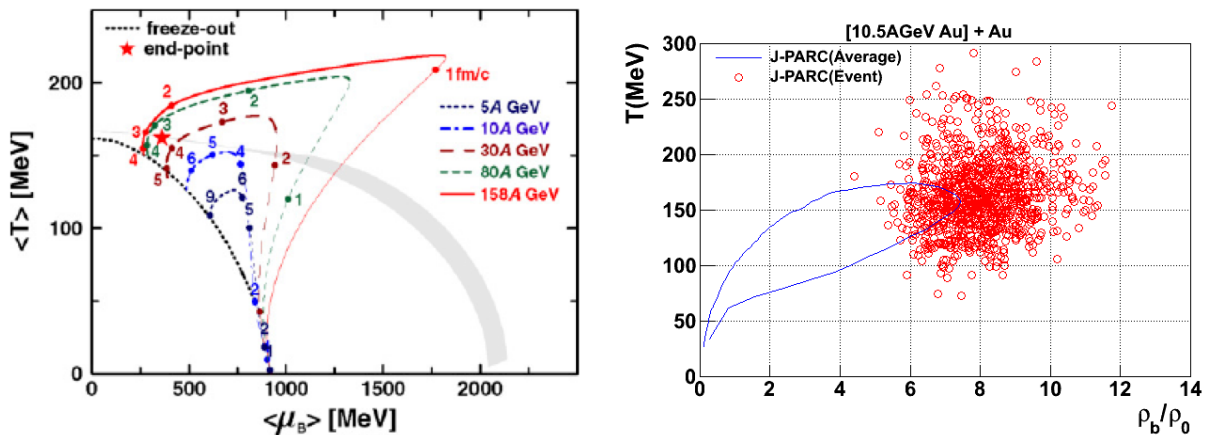


図 2.5.22: 様々な衝突エネルギーにおける系の時空発展予想 [50]

図 2.5.23: J-PARC エネルギーにおける系の時空発展のシミュレーション結果 [51]

### 2.5.3.3 カイラル対称性の回復現象に関する研究

カラー自由度が解放される非閉じ込めと大きく異なるところは、カイラル対称性の回復は系の状態方程式を大きく変化させない、ということである。従ってカイラル対称性について調べるために系全体のバルクな量ではなく、ハドロンスペクトルなど系の中の励起の変化に注目する必要がある。低質量ベクトル中間子やレプトン対の測定が有力なシグナルとして盛んに研究されてきたが、高エネルギー重イオン衝突において、カイラル対称性回復のシグナルを捉えるには、膨大なバックグラウンドを棄却した上でこれらの測定を進めなければならない。また、高エネルギー重イオン衝突というユニークさを生かした新たな測定量を検証することも非常に重要である。前者に向けた展開案としては、膨大なバックグラウンド棄却能力を持つ検出器アップグレード計画が挙げられる。RHIC-PHENIX 実験では Dalitz 崩壊電子の除去を目的として、Hadron Blind 検出器 (HBD) が導入され、現在は HBD を用いたデータ解析が進行中である。この結果が今後の指針の一つを与えると期待される。その一方で、SPS で成功を収めたミューオン対を利用することも重要である。既存の PHENIX/ALICE 実験でミューオン対を使った研究はバックグラウンドの低減や運動量分解能の向上に改善の余地がある。PHENIX の次期計画や ALICE の検出器アップグレード計画を推進し、研究遂行に当たることが有意義である。

後者としては、クォーク準粒子スペクトルの変化 [52] など理論的には様々な可能性が議論されており、最近のアイデアを一つ採り上げるなら、カイラル磁気効果の検証が有力であると考えられている [53]。非中心衝突では、正電荷を持つ粒子がほぼ光速でそれ違うため、衝突部分に強い外部磁場が作られる。理論計算によると、もしも衝突で生成される高温物質中に、トポロジー的グルーオン励起と、カイラル対称性の回復した(ほぼ)ゼロ質量クォークがあれば、カイラル磁気効果 (Chiral Magnetic Effect) によって、parity と荷電parityを破る電荷非対称度が誘起される。そのため、カイラル磁気効果は QCD 真空のトポロジー的な性質と、カイラル対称性の回復を同時に検証できるシグナルとして期待されている。カイラル磁気効果を検証するために荷電粒子の衝突上半面・下半面における多粒子相関の測定が注目されており、また最近ではカイラル磁気効果と関連して、カイラル磁気波動 (Chiral Magnetic Wave) が実験と無矛盾であるとの報告もなされている [54]。また強磁場の効果に

よって生成される光子数が増大するなど、磁場による新奇現象の可能性も指摘されている [55]。

## 2.5.4 他の WG との連携

### 2.5.4.1 ハドロン WG

ハドロン WG が掲げるエキゾチックハドロン探索は、クォーク閉じ込め機構の理解という観点から我々の WG と共通点が大きい。エキゾチックハドロン探索手法として、高エネルギー重イオン衝突におけるペンタクォークや H ダイバリオン、 $\Lambda(1405)$  等のエキゾチックハドロン生成に期待が持たれている [56]。特に LHC 等の高エネルギー領域では、重いクォークの生成断面積が大きいため、チャームやボトムクォークを含むエキゾチックハドロン探索が期待される。現在までに測定されたハドロン生成や原子核生成は、化学熱平衡統計モデルでの記述以外に、近い位相空間において複数のバリオンが結合し生成されるモデル (coalescence model) も存在し、どちらも同様の収量を記述できることが知られている。4 個以上のクォークからなるハドロンの収量からこれらのモデルの選別が可能であることが示唆されており、重いハドロン生成機構の解明にも役立てることができる。また、橢円型フロー ( $v_2$ ) の構成クォーク数スケーリング則を利用することにより、生成されたハドロンに含まれるクォーク数の直接測定も可能である。他にも、従来の  $2\Lambda$  HBT 相関と同様の手法を用いて、 $\Lambda$  間相互作用についての知見が得られることが期待されている。重イオン衝突を用いて反原子核を大量生成し、反原子核ビームとすることで新たなハドロン物理の開拓に広がる可能性が示唆されている。RHIC 加速器の STAR 実験において、陽子から He まで、更に反陽子から反ヘリウムまでの測定が行われ、化学熱統計モデルによる予想と無矛盾な結果が示された [57]。重イオン衝突により生成されるエキゾチックハドロンや反原子核を利用した新しい可能性については、まだまだ議論し始めたばかりである。今後の将来計画へどう盛り込んでいくのか議論を続けていきたい。高エネルギー重イオン WG が掲げる重要な研究テーマの一つとして、高温クォーク物質中におけるカイラル対称性の自発的破れの回復を通したハドロンの質量発現機構の解明がある。ハドロン WG もまた、この研究課題を掲げ、通常原子核を用いたカイラル対称性部分回復の実験的探索を提案している。このアプローチは、時間的に安定で量子数の定まった状態を用いる利点がある一方で、核子について成立しているポテンシャル描像とカイラル対称性回復描像の実験的区別が困難という問題を抱える。他方、高エネルギー重イオン衝突ではより複雑な時空発展を経るが、高温高強度の非閉じ込め場の存在が確立しており、両者は単なる量的差異ではなく質的に異なる条件下という意味で相補的な物理意義を持つ。今後、どのように連携を取りこの関連性と相補性を発展させていくか、議論を継続していくたい。

### 2.5.4.2 ストレンジネス WG

化学熱平衡統計モデルによると、重イオン中心衝突においては  $\sqrt{s_{NN}}=4\text{GeV}$  以上において s クォークは、u,d クォークと正準平衡化することが知られている。この衝突エネルギーは J-PARC の重イオン衝突で達成可能であり、J-PARC や FAIR 重イオン衝突では、ストレンジネスを含むハドロンの大規模生成が期待される。特に、このエネルギー領域では、ストレンジネスを含むハイパー核生成収量が最大になることが予想されている [59]。2 つのラムダを含む原子核生成、例えば  ${}^5_{\Lambda\Lambda}H$  などは、 $10^6$  個の重イオン中心衝突に対しておよそ 5 個生成されると予想されており、重イオン衝突はハイパー核探

索に有用である。ハイパー核の mesonic Decay の測定は、重イオン衝突から出てきた  ${}^3_{\Lambda}H$  の崩壊幅（崩壊長）の測定を通して既に行われており、過去のデータと無矛盾な結果が得られている [60]。真空中  $\Lambda$  の崩壊長とは誤差の範囲で一致しており、今後、J-PARC や FAIR エネルギー領域においての高統計の測定が期待される。さらに、重イオンを利用してハイパー核ビームを発生させ、ターゲットとの衝突により新たな研究手法が期待できる。今後、J-PARC や FAIR における研究展開を計画の一つとして取り入れていきたい。

#### 2.5.4.3 核子構造 WG

RHIC や LHC での高エネルギー重イオン衝突では、衝突初期条件の解明、衝突直後の高強度ゲージ場のダイナミクスや早期熱平衡化機構の解明が強く求められている。高エネルギー重イオン衝突のリファレンスとして、陽子・陽子衝突や（重）陽子・原子核衝突も重要であり、高エネルギー QCD 反応の素過程の理解も必須である。衝突初期条件は原子核内核子のパートン分布で決定されるため、この研究は核子構造との繋がりが非常に深い。今後、核子構造 WG との共同研究として、例えば、RHIC の将来計画である電子・陽子衝突、電子・原子核衝突を推進し、陽子や原子核核子内のパートン分布の精密研究、small  $x$  におけるグルーオン場のダイナミクスの研究を進めていきたいと考えている。また、LHC の長期将来計画にも電子・陽子、電子・原子核衝突が考えられており、こちらへの積極的な展開を検討していきたい。

#### 2.5.4.4 計算物理 WG

QCD の非摂動的効果が顕著に、かつ、動的に現れる高エネルギー重イオン衝突反応の理論計算は大規模な数値計算を必要とする。現状では、第一原理である有限温度格子 QCD 数値計算で得られた QGP の状態方程式をインプットとして、相対論的流体数値シミュレーションが行われ、高エネルギー重イオン衝突反応における QGP の時空発展が記述されている。今後、計算物理との関わりとして、本 WG の観点から二つの大きな方向性が考えられる。一つは第一原理計算自身の発展、もう一つは現象論的アプローチである流体数値シミュレーションの発展である。前者では、実験結果の物理的解釈をする上で、有限温度におけるスペクトル関数や輸送係数の導出、有限密度系における相構造や状態方程式などを得ることが重要となる。ただし、すでに述べた通り、有限密度系では符号問題のため実際の計算にはブレークスルーを要する。後者では、揺らぎの入ったイベント毎流体シミュレーションを行う枠組みを作り、流体力学を基礎としたイベントジェネレータを構築することが QGP の精密物理を展開する上で必須となる。実験と同程度のイベントを貯めるための流体モデルの定式化とともに、その大規模数値計算も実行する必要がある。QGP を理解する上では、高エネルギー重イオン衝突反応と有限温度密度格子 QCD 計算は、相補的な手段である。そのため、今後、計算物理 WG とも連携していくことが必要である。

### 2.5.5 タイムライン

前に述べた、今後の展望や方向性を受けて、以下のタイムラインでの研究遂行が望まれる。

### 2.5.5.1 QGP 物性の精密研究、熱平衡化機構の研究

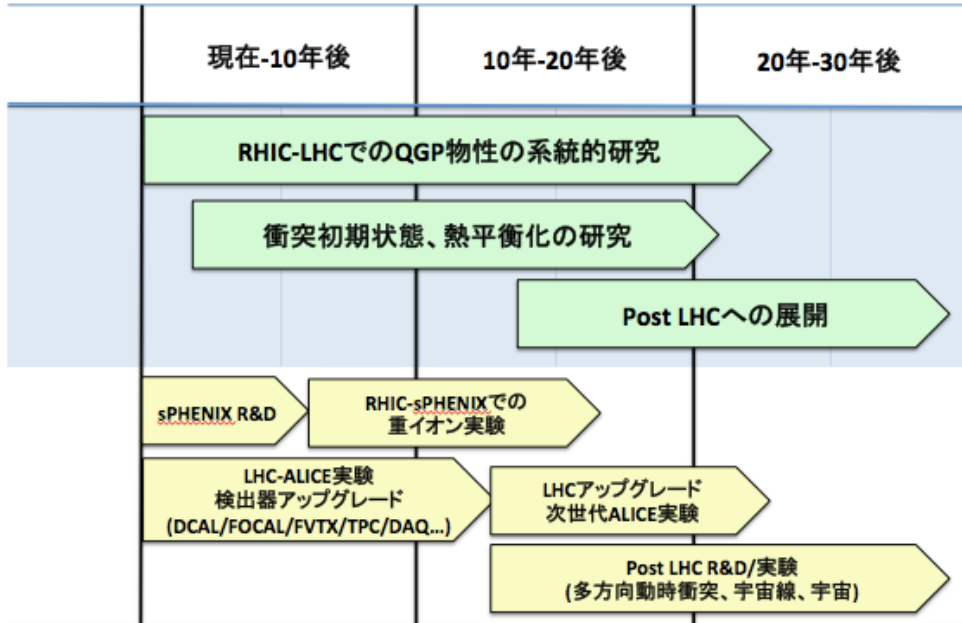


図 2.5.24: 研究遂行へのタイムライン

#### 1. RHIC-LHC に渡る包括的な QGP 物性研究

- RHIC/LHC での高エネルギー重イオン衝突の遂行  
様々な衝突システム（エネルギー、衝突核種）にて、多くの系統的な測定を進め、時空発展のダイナミクスの理解とともに、物性量の温度・密度依存性を導出する。継続的に行われる実験データの物理解析に尽力する。
- 次世代 RHIC-PHENIX 実験 (sPHENIX) への展開  
PHENIX の次期計画である sPHENIX 計画への展開をはかる。LHC と相補的な測定を進めるために、高横運動量ハドロンやジェットの測定、大きな運動学領域での粒子相関測定、大きなアクセプタンスの基で光子・レプトン測定を推進したい。高横運動量ハドロン、ジェット測定において、RHIC では未測定な 50GeV 以上のジェットを測定し、支配的なクォークジェットのエネルギー損失、そのフレーバー依存性を検証することにより、QGP の物性研究に迫る。
- LHC-ALICE 実験増強計画の推進  
ALICE 実験では段階的なアップグレード計画が進行している。ジェット対測定に特化した電磁カロリメータやハドロンカロリメータを建設し、ジェットのエネルギー損失や失ったエネルギーの伝搬の検証を通じて QGP の物性研究を行う。ALICE の他のアップグレード計画としては、マイクロパターンガス検出器を読み出しに用いたタイムプロジェクトションチェンバー、重クォークの QGP 中での振舞（特に低運動量）を検証する最内層シリコンピ

クセル検出器の建設、高横運動量ハドロン識別の PID 検出器の建設や前方シリコン検出器の建設がある。

LHC で支配的なグルオンジェットのエネルギー損失、失ったエネルギーの伝搬に関する系統的な研究は、広い運動量領域で飛跡検出・粒子同定可能な ALICE 実験が最適である。RHIC と並行して、比較・包括的にジェットを使った QGP 物性を推進する。(対) ジェット測定のアクセプタンスやエネルギー分解能を向上する目的で、電磁カロリメータやハドロンカロリメータの建設を進めたい。また、高輝度下と高レートでのデータ取得に向けて、マイクロパターンガス検出器を読み出しに用いたタイムプロジェクトションチェンバーの開発も進める。また、最内層シリコンピクセル検出器の建設も同時に進めることが重要である。これにより、重クォークと含むメソン・バリオンの系統的な測定が高統計で可能となり、また、低質量レプトン対の統計精度も向上する。

- 次世代 ALICE 実験の立案。時間断片プローブの測定

時間スライスに敏感なプローブを考案し、QGP の時間断片撮像をとり、QGP 物性の時空発展の直接検証を行いたい。どんなプローブをどのように測定すればいいのかに関して詳細な議論が必要であるが、光子やレプトンの透過的なプローブを、大きなアクセプタンス、高い検出効率、大きなバックグランド除去能を持つ検出器群の中で測定したい。現在の ALICE はこれらの測定に特化しておらず、次世代 ALICE 検出器として提言すべく、R&D を進めたい。

## 2. 衝突初期状態の研究、QGP の熱平衡化機構の解明

- RHIC/LHC での高エネルギー重イオン衝突の遂行

陽子・重イオン衝突を遂行し、大きなラピディティ領域での粒子生成を測定することで、原子核中のグルーオン分布を定量的に評価する。また、重イオン同士衝突を遂行し、大きなラピディティ範囲での多粒子相関を通じて衝突直後のダイナミクスの理解に迫りたい。

- LHC-ALICE 実験実験増強計画の推進

衝突初期状態として重要なグルーオン飽和の定量的研究や、熱平衡化までのダイナミクスの理解を目的とし、ALICE 検出器アップグレード計画を推進する。特に、前方ラピディティ ( $2.5 \leq \eta \leq 4.5$ ) に電磁カロリメータを建設し、直接光子、中性  $\pi$  中間子やレプトン対の測定を行う。また、長期アップグレード計画として、更に前方ラピディティ ( $4.5 \leq \eta \leq 6$ ) にスペクトロメータを建設する。これにより、RHIC では未踏である超広範囲における粒子生成相関を通じて、衝突初期のダイナミクスの理解へを進める。

## 3. post LHC への展開

現在の RHIC-LHC の高エネルギー重イオン衝突で到達できる最高温度は  $4T_c (\leq 800 \text{ MeV})$  程度である。QGP の強結合性は相転移温度付近に強く現れると考えられており、超高温の極限では弱結合 QGP が実現すると考えられる。 $T \geq 10-100 T_c$  スケールでの QGP 物性研究は非常に興味深い。この超高温を実現するには LHC 以上の超大型加速器でも十分ではなく、例えば、多方向の同時衝突によって温度を上げるなどの新しいアイデアと技術革新が必要である。また、宇宙線を使った検証、スペクトロメータを宇宙に打ち上げるなどのアイデアにも目を向け、超高温 QGP への研究展開を実現させたい。

### 現在-10年の取り組み

LHCでは最初の10年に、鉛・鉛衝突実験 ( $\sqrt{s_{NN}} = 2.76, 5.5 \text{ TeV}$ ) や原子核効果の検証に陽子・鉛衝突実験 ( $\sqrt{s_{NN}} = 8.8 \text{ TeV}$ )、軽い原子核を用いた衝突実験 (Ar+Ar) が予定されている。物理解析を行い、光子・レプトン対を用いた QGP の初期温度測定、ジェットや高横運動量ハドロンのエネルギー損失によるパートン密度や阻止能の測定、重クォークやクオーコニウム測定による輸送係数や遮蔽長・クォーク間ポテンシャルの測定を通じた QGP 物性の性質解明にあたる。

物理解析研究と並行して ALICE 実験の検出器アップグレード計画を進める。ジェット対測定用の電磁カロリメータ (DCAL) や前方方向細分型電磁カロリメータ (FOCAL) の開発・建設を進め、新規提案検出器としてハドロンカロリメータや高レート耐性に優れたガス電子増幅器を読み出しに用いたタイムプロジェクトションチェンバーなど物理戦略に基づく新たな増強計画を提案する。

RHIC では今後 5-10 年を目処に、金・金衝突 ( $\sqrt{s_{NN}} = 200 \text{ GeV}$ )、ウラン衝突、銅・金非対称衝突や衝突エネルギー・キャンが行われる予定である。PHENIX 実験は重クォーク崩壊点測定用シリコン検出器を 2010 年に建設し、今後の 2-3 年にチャームとボトムの独立測定による QGP の物性研究を行う。この物理解析と並行して、次世代 PHENIX アップグレード計画を推進する。高エネルギー・パートンと QGP との相互作用機構については、クォーク・グルーオンジェット、ダイジェット、重クォークジェット、直接光子とジェットの同時生成過程についての精密測定が重要である。熱的光子の方位角異方性や熱的電子対の測定 (質量、方位角異方性、横運動量分布の同時測定) は時空発展の詳細に敏感であるため、系の時空発展に対して透過的なプローブである光子・レプトンの精密測定も重要である。既存のシリコン検出器を生かし、新たに  $|\eta| \leq 1$  と全方位角を覆う、複数層のシリコン飛跡検出器、プレシャワー検出器、電磁カロリメータとハドロンカロリメータ、粒子同定検出器、前方方向スペクトロメータ (small  $x$  の物理) を組み合わせた図 2.5.26 の sPHENIX 検出器の建設を進める。また、長期計画として、最外層にミューオン検出器を建設し、重クォーク物理の強化と熱的レプトン対の測定を進める。

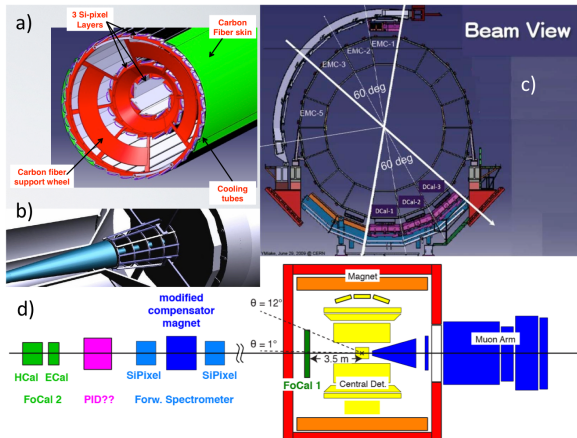


図 2.5.25: ALICE upgrade 計画. a) 最内層 vtx 検出器、b) 前方 vtx 検出器、c)DCAL, d)Focal 1 と前方スペクトロメータ [33]

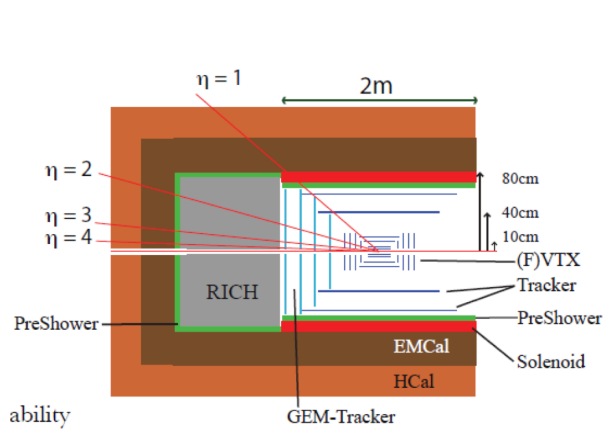


図 2.5.26: 次世代 PHENIX 検出器 (sPHENIX) の計画 [32]

### 10-20 年の取り組み

LHC の 10 年間の成果を精査し、次世代 ALICE 実験に向けた検出器 R&D を推進する。特に現在の ALICE 実験では十分な精度で測定することが出来ないであろう、低・中間質量レプトン対(低質量ベクトル中間子、熱的電子対、仮想光子からの崩壊電子対)、低エネルギー光子測定や時間スライスに敏感なプローブの測定を目指して、高輝度性、高バックグラウンド除去性能に優れた次世代 ALICE 実験検出器群の開発・建設を進め、15 年を目処に次世代 ALICE 実験を遂行する。

その一方で、相補的に RHIC エネルギーでの sPHENIX 実験を遂行する。透過的なプローブを通じて物性量の衝突後時間依存性や、ジェットを用いた QGP とパートンの相互作用を通じて RHIC で達成できる温度領域 ( $T_c - 2T_c$ ) における熱力学量の温度依存性を検証する。衝突エネルギー斯基ヤンに際し、電子冷却法によるビーム輝度の向上を活用し、上記の稀少事象を様々な衝突エネルギーのもとで検証する。

### 20 年以降の取り組み

post LHC への取り組みを実現させ、多方向同時衝突、宇宙線観測実験や実験を宇宙の場に移し、超高温度 QGP 物質の物性研究を可能にしたい。強結合 QGP から弱結合 QGP まで、幅広く物性研究を展開し、統一的な理解を得て、高温度領域における QCD 物性研究を終了させる。

#### 2.5.5.2 有限多体系 QCD 物質の相構造の研究

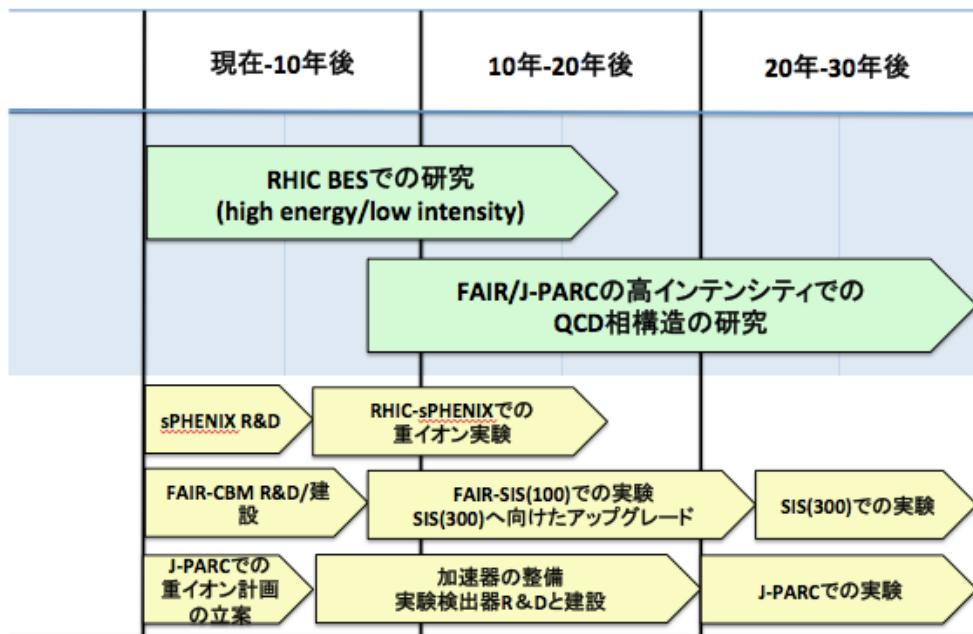


図 2.5.27: 研究遂行へのタイムライン

1. RHIC の beam energy scan (BES) の遂行

RHIC では  $\sqrt{s_{NN}} = 200$  GeV の金・金衝突を継続する一方で、衝突エネルギーのスキヤン ( $\sqrt{s_{NN}} = 7.7, 18, 27, 39$  GeV) が今後 5 年間を中心に行われる予定である。現在のルミノシティ

では測定量がグローバルな観測量に制限されてしまうものの、粒子多重度、バリオン数比、平均横運動量（横エネルギー）、粒子密度相関長などの揺らぎや、その高次モーメントの測定を通じて QCD 臨界点の探索を進める。その一方で、電子冷却法によるビーム輝度の向上を活用し、光子・レプトン対やハードな過程を通じた検証を進めたい。レプトン対の測定は高密度状態におけるカイラル凝縮やダイクォーク凝縮の検証に有益であると考えられるため、RHIC のビーム輝度の向上に並行し、レプトン対に対して大きなアクセプタンスを持つ次世代 PHENIX 実験検出器 (sPHENIX) の建設を行う。

## 2. FAIR/J-PARC の高インテンシティ重イオン衝突実験の遂行<sup>8</sup>

FAIR の SIS100/300 では重イオンを核子あたり 15GeV/45GeV まで加速可能である。現在は SIS100 を使って、2018-2019 年の実験開始を目指している。FAIR での実験研究を進める一方で、その後約 10-20 年をかけて SIS300 へのアップグレード建設を目指す。

J-PARC では、30(50)GeV の 1 次陽子ビームを得られることから、重イオンビームを J-PARC のメインリングに入射することができれば、核子あたり 12(20)GeV のビームエネルギーが得られる。この領域での重イオン衝突では、通常原子核密度の 5-10 倍の密度が達成できると考えられ、バリオン密度が最も大きくなることが過去の実験からも分かっている [51]。

SIS100 のエネルギーは J-PARC のエネルギーとほぼ同じであり、研究の推進には工夫が必要である。SIS100 での 30GeV 陽子強度  $10^{13}$  proton/sec と比較すると、J-PARC では 50GeV の陽子の強度として一桁大きい  $10^{14}$  proton/sec を目指しており、重イオンのビーム強度に関して言えば FAIR よりも J-PARC の方が優位であることが予想される。今後、J-PARC における重イオン加速を視野に入れた長期総合研究計画の立案を考えていきたい [61]。また、現在ロシアの JINR(Joint Institute for Nuclear Research) 研究所では、核子あたりの衝突重心系エネルギー 2-11GeV の重イオン衝突実験が計画されている [62]。現存する Nucletron 重イオン加速器を拡張してコライダー型の NICA 加速器を作り、2016 年くらいから MPD 実験 (Multi-Purpose-Detector) が開始される予定である。こちらへの参画も今後検討を重ねて行く。

### 現在-10 年の取り組み

RHIC のビームエネルギー・スキャン ( $\sqrt{s_{NN}} = 7.7, 18, 27, 39$  GeV) を遂行し、グローバルな観測量（ハドロンの横運動量分布、方位角異方性、粒子多重度とラピディティ相関、揺らぎや高次モーメントの測定）を通じて、臨界点や混合相に関する研究を行う。その一方で、RHIC が高密度 QCD 相探索の中心的施設となるように電子冷却技術を用いたビーム輝度向上を推進する。sPHENIX 実験での実験遂行、特に稀少・透過的プローブを用いた新しい QCD 相探索実験に向けた検出器 R&D や建設を進める。RHIC でのエネルギー走査実験が FAIR/J-PARC での実験展開に重要なインプットを与える為、RHIC の実験結果を精査し、FAIR/J-PARC での研究展開案を具体化する。

FAIR 加速器を用いた本研究に直結する実験として CBM 実験があげられる<sup>9</sup> [63]。予算状況から CBM 実験の検出器建設は段階に分けて進めることができている。CBM は図 2.5.28 に示された通り、ハドロン・電子・光子測定に特化した検出器群とミューオン測定に特化した 2 通りのプランがある。レプトン対や光子の測定を目指し、高インテンシティ重イオン衝突下で十分な性能を持つ

<sup>8</sup>FAIR/J-PARC を同時に遂行する意義、現実性、その戦略は今後の綿密な議論の基に決定していきたい。本レポートでは実験研究の方向性に関する優先順位付けは考えない。

<sup>9</sup>現在では、15ヶ国、51 機関、400 人以上の参加がある

RICH/EMCAL/VTX 検出器の R&D や建設を行う。また、高ルミノシティ下で、高多重度中の稀事象を探すために、事象選択のトリガーロジック・早い読出回路の開発や DAQ の開発を進める。これは J-PARC での重イオン実験にも必須な技術である。

重イオンを J-PARC で加速・利用するためには、イオン源や速い繰り返しの 3GeV シンクロトロン (RCS) の代わりとなるインジェクター (例えば FFAG) が必要である。また、重イオンビームに対する要求としては、重イオンの核種とエネルギーを柔軟にかえられること (QCD 相のマッピング)、大強度であること (稀少プローブへのアクセス)、衝突技術のブレークスルー (より高密度状態形成の為の多方向原子核衝突の実現可能性など) などが挙げられる。20 年後の重イオン衝突実験開始を目指し、重イオン加速に向けた加速器設備の考案を進め、J-PARC での重イオン物理の更なる検討、実験立案、プロポーザルを行い検出器 R&D を開始する。

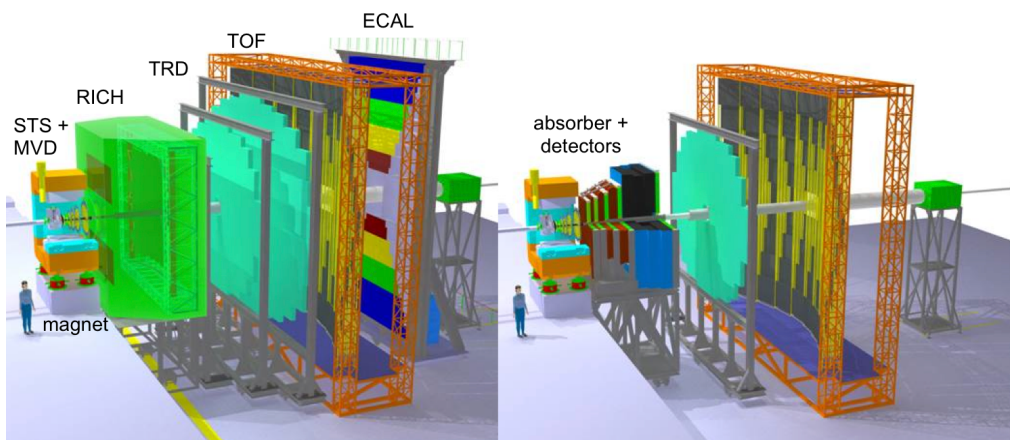


図 2.5.28: CBM 実験の検出器群の 2 候補 [63]

#### 10-20 年の取り組み

電子冷却技術によるビーム輝度の向上を受け、RHIC の衝突エネルギー・キャンを実行し、sPHENIX 実験で稀少・透過的プローブを用いた高密度 QCD 相解明の検証を継続する。

FAIR では、CBM 実験用検出器の建設を終え、SIS100 での実験遂行やデータ解析にあたる。また、SIS300 に向けた検出器アップグレード計画を推進する。検出器をより高いエネルギーでより高い多重度下での測定に対応できるようにアップグレードを行っていく。

J-PARC では、重イオン加速器の整備や実験にむけた検出器 R&D を進める。

#### 20 年以降の取り組み

SIS300 に向けた検出器建設と実験準備を経て、SIS300 での重イオン衝突実験を行う。さらに J-PARC での系統的な重イオン実験 (原子核同士衝突、陽子・原子核衝突) を継続する。SIS300 と J-PARC での早期結果を精査し、高密度 QCD 相構造研究を解明し (臨界点、閉じ込め相転移線、カイラル相転移線など)、更なる詳細研究に向けた加速器の高輝度化、加速エネルギーの広範囲化を目指し、それに追従する実験アップグレード計画を策定する。

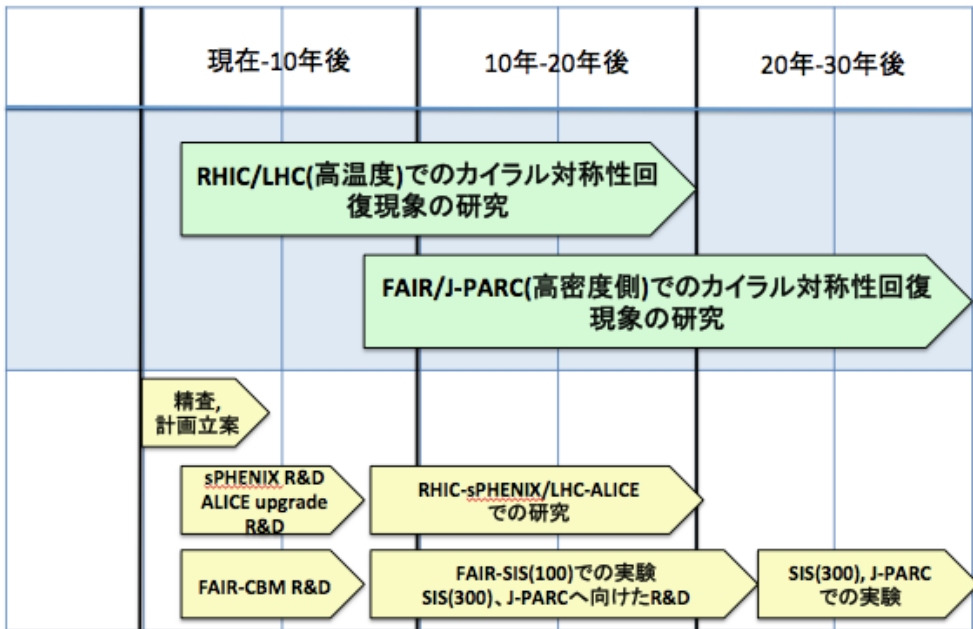


図 2.5.29: 研究遂行へのタイムライン

### 2.5.5.3 カイラル対称性の回復現象に関する研究

#### 1. RHIC/LHC の高温度領域での研究

高温度側では、非閉じ込め状態への相転移とほぼ同時にカイラル対称性が回復すると考えられている。従って、RHIC や LHC で実現される QGP は、カイラル対称性が回復した世界として非常にユニークな場である。要検討事項は、高エネルギー重イオン衝突という高粒子多重度中で、カイラル対称性の回復の指標となるクォーク対凝縮の情報を得る為に、何を測定するのがベストなのか、ということである。低質量ベクトル中間子 ( $\rho$ ,  $\omega$ ,  $\phi$ ) の電子対測定は、質量・巾の変化とその運動学依存性の議論に最適であるが、現行の RHIC・LHC での実験では、粒子多重度と中性  $\pi$  中間子の Dalitz 崩壊や外部変換からの電子対が大きなバックグラウンドとなっており、精密な測定段階に至っていない。従って、バックグラウンドの改善に向けた既存実験の検出器増強計画、新たなプローブの可能性や新規実験計画の策定を最初の数年で進めたい。低質量領域のレプトン対測定に関しては、PHENIX/CERES 実験が低質量領域に既存のハドロン崩壊成分以上の超過収量を測定してきたが、ここから低質量ベクトル中間子の質量・幅の変化を引き出すには、QGP やハドロンガスからの熱的電子対の寄与を正確に押さえる必要があり、その検証には、高エネルギー重イオンの時空発展の理解が必須である。QGP 物性の精密研究と並行して進めて行きたい。

#### 2. FAIR/J-PARC の高密度領域での研究

高密度領域では必ずしも非閉じ込め相転移とカイラル相転移が同時に起こるとは限らないが、CERES や HADES 実験での先行研究より、高密度側でのカイラル対称性の回復現象のヒントが得られつつある。FAIR や J-PARC エネルギー領域での高エネルギー重イオン衝突で達成さ

れる高バリオン密度領域で、低質量ベクトル中間子、レプトン対、擬スカラー中間子や $\sigma$ 中間子などを様々な崩壊モードで系統的に測定し、カイラル対称性の回復現象の完全理解を目指す。また、 $p+A$ 衝突を用いた通常原子核密度におけるカイラル対称性の部分的回復研究も同様に推進したい。

#### 現在-10年の取り組み

PHENIX 実験では 2007-2010 年に HBD 検出器を使った低質量レプトン対測定に特化した実験を行ってきた。金・金衝突における HBD 検出器の性能は高粒子多重度下における電子対測定に重要な指針を与える為、現在までに取得されたデータの解析を継続する。そして、その中で判明した問題点の改善と他のプローブ測定(ミューオン対、 $\sigma$ 中間子など)を含めた検出器建設計画を策定し、ALICE 実験や sPHENIX 実験での研究を行う。ALICE 実験では前方シリコンピクセル検出器の建設計画があり、ミューオン対の質量分解能の向上が期待できるため、このアップグレード計画への参画を考えたい。

FAIR 実験で金・金衝突における低質量レプトン対や様々な崩壊モードで低質量ベクトル中間子を測定することを目指して、高粒子多重度中でも十分な性能を持つカロリメータや電子同定用 RICH の開発を行う。J-PARC での実験遂行を目指し、加速器の整備と並行して、最適なプローブの選定、測定に向けた実験案の策定や R&D を進めたい。

#### 10-20年の取り組み

sPHENIX や ALICE アップグレード・次世代 ALICE 実験の下での実験を進め、様々なシステムでの系統的な測定を通じて、高温度側のカイラル対称性の回復現象研究を終える。FAIR での SIS(100) での重イオン衝突を遂行し、高密度下での研究をスタートさせ、 $p+A$ 衝突や核種変更を通じて低質量レプトン対や低質量ベクトル中間子の系統的な測定を行う。J-PARC での実験遂行に向けた、検出器、高速読出回路や DAQ の R&D を行い、本格的な建設を開始する。

#### 20年以降の取り組み

J-PARC や FAIR-SIS300 での実験の遂行。高バリオン密度中でのレプトン対、 $\sigma$ などの系統的測定を行い、高密度中でのカイラル対称性回復の実験研究を進める。高密度下でのカイラル対称性の回復現象の研究を終える。

### 2.5.6 研究に必要な装置、リソース

ここでは、研究遂行に関連する実験施設や実験増強計画を纏める。

#### 2.5.6.1 加速器施設や検出器

##### LHC 加速器と LHC-ALICE 実験

今後 10-20 年は、1-2 年間のシャットダウンが数回はあるものの、 $\sqrt{s_{NN}}=5.5$  TeV の重イオン衝突ランが予定されている。現在の予定では、LHC オペレーション期間のうち 1 ルミノシティ程度が重イオン衝突に充てられている。今後 10-20 年で、鉛・鉛衝突、陽子・鉛衝突や軽い系の Ar・Ar 衝突が行われる予定である。その一方で、10 年後を目標にした LHC のルミノシティ増強計画や、20 年後を目標にしたエネルギー増強計画が立案されている。その先は、電子・陽子、電子・原子核衝突に向けた LHeC の建設が考案されている。現在、LHC-ALICE 実験の増強計画として、ジェット対測定用の電磁カロリ

メータ、グルーオン飽和研究用の前方飛跡検出型カロリメータ、高レートでのデータ取得を目指すタイムプロジェクトションチェンバーや最内層シリコン検出器、前方シリコン検出器、高横運動量粒子同定検出器などが挙がっている。

#### RHIC 加速器と RHIC-PHENIX 実験

RHIC ではルミノシティのアップグレード計画と共に、電子・陽子や電子・原子核衝突の為の電子加速器の建設設計画が進行中である。また、RHIC-PHENIX 実験では、これまでの研究成果を基にした次世代 PHENIX 実験 (sPHENIX) の建設設計画が立案されており、5-10 年を目処に建設を進めて行く予定である。

#### FAIR 加速器

2011 年の 12 月に正式な建設プロジェクトとなり、2018-2019 年に SIS100 での実験をスタートさせる予定である。SIS300 へのアップグレード用予算の目処は未だ立っていない。FAIR では高密度 QCD 相探索を目的とした CBM 実験が予定されている。現在は、CBM 実験の検出器を建設する予算や人的資源が不足しており、前実験の HADES 実験検出器を基盤として、徐々に CBM の検出器を建設していく予定である。

#### J-PARC 加速器

J-PARC における重イオン衝突は、最高バリオン密度近くの高密度 QCD 物質の研究に有益である。J-PARC の長期計画の一つに重イオン加速の可能性が考えられており、10-20 年程度のタイムラインで加速器施設の準備が可能であると考えられる。重イオン加速に向けてイオン源や MR へのインジェクターを整備する必要がある。この推進は、我々のコミュニティからの強力な指針、戦略があってこそであり、積極的なコミットメントを考えたい。

#### 検出器

今後の研究を展開する上で、R&D が必要となるであろう検出器を以下に列挙する。これらの検出器開発を、原子核分野にとどまらず、関連研究分野と協力して進めていきたい。

- ジェット測定用電磁カロリメータ

LHC-ALICE 実験のアップグレードや sPHENIX 実験でのジェット測定に向けた電磁カロリメータの開発が必要である。

開発費用:0.4 億円/年、建設費用:2 億円/年、メンテナンス費用:0.4 億円/年

- 飛跡検出型 W+Si の電磁カロリメータ

LHC-ALICE 実験のアップグレードや sPHENIX 実験へ向け、前方方向用の細分化型飛跡検出用電磁カロリメータの開発が必要である。

開発費用:0.5 億円/年、建設費用:3 億円/年、メンテナンス費用:0.5 億円/年

- ハドロンカロリメータ

ジェットエネルギー測定の精密化にハドロンカロリメータの開発が必要である。

開発費用:0.2 億円/年、建設費用:1 億円/年、メンテナンス費用:0.2 億円/年

- シリコンピクセル検出器

次世代 ALICE 実験や sPHENIX 実験など高粒子多度下での飛跡再構成や重クォークの崩壊点再構成に優れた細かい読み出しを持つシリコンピクセル検出器の開発が必要である。

開発費用:0.5 億円/年、建設費用:2 億円/年、メンテナンス費用:0.5 億円/年

- マイクロパターンガス検出器をもつタイムプロジェクトションチェンバー

LHC 高輝度下を受け、高レートデータ取得可能なタイムプロジェクトションチェンバーの開発を進める。レート耐性やイオンフィードバックに優れたマイクロパターンガス検出器を読み出しの持つタイムプロジェクトションチェンバーの開発を行う。

開発費用:0.2 億円/年, 建設費用:2 億円/年, メンテナンス費用:0.2 億円/年

- 高速読み出し回路、ASIC、高速トリガー、DAQ

高レート下 (LHC, RHIC, FAIR, J-PARC) でのデータ収集に向けた、高速読み出し回路システム (ASIC, フロントエンド、バックエンド、パイプラインシステム) の開発が必須である。

開発費用:0.5 億円/年, 建設費用:2 億円/年, メンテナンス費用:0.5 億円/年

- FAIR/J-PARC での実験に向けたスペクトロメータ開発

開発費用:1 億円/年, 建設費用:2 億円/年, メンテナンス費用:0.5 億円/年

### 2.5.6.2 リソース

#### 資金、人的資源

以上の研究計画を遂行するにあたり、必要となるであろう資金・マンパワーを下に示す。コミュニティの現状を踏まえ、この資金とマンパワーを得ることは非常に難しいと言える。研究組織の拡充化を目指す一方で、現在の資源をどのように生かすべきか、将来の資金をどのように調達するべきか、コミュニティで物理戦略や研究題目の順位付けの議論を行い具体的な指針を策定していく。

#### 新しい研究組織の確立

RHIC における QGP 生成を受け、LHC の稼働とともに、今後は LHC-RHIC という広いエネルギー範囲に渡る QGP 物性が花開くものと期待される。その一方で、RHIC のエネルギー・スキャン、10 年後に始動する FAIR や J-PARC での高・中間エネルギーでの重イオン衝突は、高密度 QCD 物質の相構造研究に新展開を齎すものと期待される。

高エネルギー重イオン衝突を通じた QCD の物性研究の発展には、状態方程式などの静的な性質を与える格子 QCD 計算、グルーオン飽和という small  $x$  における核子構造や熱平衡化過程の記述に必要な非平衡 QCD、それらをインプットにした相対論的 (粘性) 流体計算、強結合状態を記述するゲージ・重力対応 [64]、など様々な理論体系が必要である。また、QCD 相構造の研究には依然として信頼たる理論計算が必要である。これらの理論体系との密なる連携は本研究の推進に必要不可欠である。

これら理論グループとの連携を含む高エネルギー重イオンの物理で繋がる新しい研究組織の確立を考えて行きたい。例えば、QGP 物性を「強結合多体系の物理」で括り、半導体中の高密度電子正孔系に見られる強相関や相構造 [65]、完全流体として振る舞う極低温強結合 Fermi ガス [66] と関連して研究を展開するのが一案である。また原子核コミュニティのみならず、素粒子・物性も含む、掲げる物理 (強結合物性系、高強度場の物理、初期宇宙、高密度天体) や最先端検出器の開発で繋がる、新しい融合的な研究コミュニティの立ち上げを実現したいと考えている。

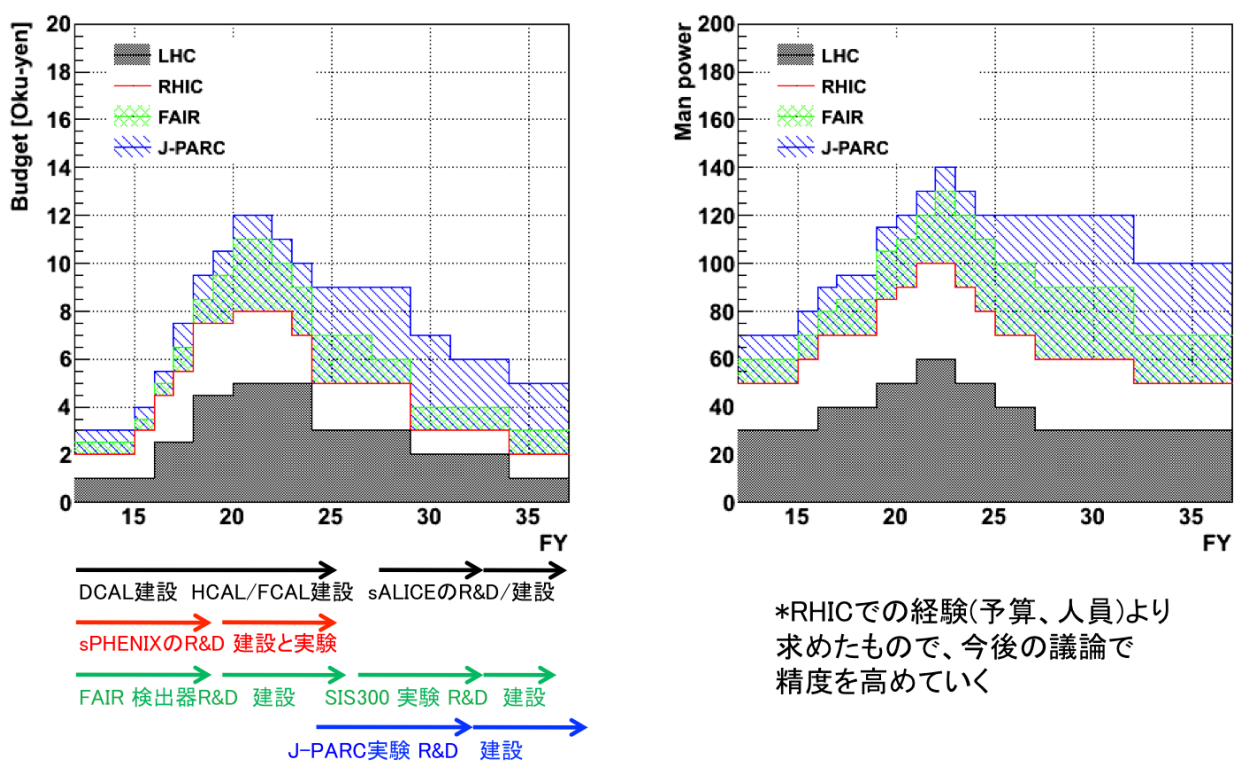


図 2.5.30: 研究遂行に必要な資金 (左) とマンパワー (右). J-PARC 加速器建設に関わる経費は計上していない。

### 2.5.7まとめと展望

ハドロン物質の新しい存在形態として初期宇宙にも重要な QGP の生成を目指し、様々な大型加速器施設を用いた高エネルギー重イオン衝突実験が精力的に行われて来た。長年に渡る実験成果を受けて、QGP の生成は実験的に確実なものとなった。QGP 生成から QGP の物性研究への展開は、宇宙初期での極限物質の様相とその進化、物質創成の謎、高温領域における QCD 真空構造に関する知見を与えてくれる。また、QGP 研究における、早期熱平衡化機構の解明は非平衡 QCD のダイナミクス研究に繋がる重イオン物理の新基軸として重要である。また、エネルギーフロンティアを目指す一方で、固定標的中間エネルギー重イオン衝突を通じたルミノシティフロンティアへの取り組みも重要である。高ルミノシティでの中間エネルギー重イオン衝突により、星の終焉での極限物質の様相、高密度 QCD 多体系の相構造の解明を目指す。これらの研究に向け、現行の RHIC-PHENIX/LHC-ALICE 実験での先導的な実験遂行と、新たな視点とその先を見据えた実験アップグレード計画 (sPHENIX、次世代 ALICE 実験) や新たな大型加速器施設 (FAIR 加速器、J-PARC 加速器、多方向同時衝突、レーザー物理) での研究展開を進める予定である。これらの研究推進には、より具体的な物理展開、研究遂行案の策定や研究推進の母体である大規模なリソースの獲得が重要である。掲げる物理で繋がる大規模組織の確立や他分野との密なる連携を図り、本研究を遂行させて行きたい。

## 参考文献

- [1] K. Fukushima and T. Hatsuda, Rep. Prog. Phys. **74**, 014001 (2011).
- [2] N. Cabibbo, G. Parisi, Phys.Lett. **B59**:67-69,1975; G. Baym, NSAC (1983), Long Range Plan; L. McLerran, Nucl. Phys. **A830**, 709c-712c (2009).
- [3] F. Karsh, Lect. Notes Phys. **583**, 209 (2002).
- [4] R. Stock, J. Phys. G: Nucl. Part. Phys. 30 S633; H. Satz, Phys.Rept. 403-404, 33-50 (2004);  
<http://www.bnl.gov/rhic/>; <http://lhc.web.cern.ch/lhc/>
- [5] [http://www.gsi.de/portrait/fair\\_e.html](http://www.gsi.de/portrait/fair_e.html)
- [6] <http://www.phenix.bnl.gov/>
- [7] <http://aliweb.cern.ch/>
- [8] 第 21 期日本学術会議物理学委員会素粒子原子核物理分科会 田村裕和氏「J-PARC での原子核物理」<http://hep.phys.s.u-tokyo.ac.jp/SCJ/20090601.htm>
- [9] BRAHMS Collaboration, Nucl. Phys. **A**, **757**, 1-27 (2005); PHENIX Collaboration, Nucl. Phys. **A**, **757**, 184-283 (2005); PHOBOS Collaboration, Nucl. Phys. **A**, **757**, 28-101 (2005); STAR Collaboration, Nucl. Phys. **A**, **757**, 102-183 (2005).
- [10] A. Toia for the ALICE Collaboration, arXiv:1107.1973.
- [11] M. Floris for the ALICE Collaboration, arXiv:1108.3257.

- [12] N. Armesto *et al.* J. Phys. **G 37**, 025104 (2010).
- [13] J. Jia, R. Wei, Phys. Rev. **C 82**, 024902 (2010).
- [14] A. Adare *et. al.*, (PHENIX Collaboration), Phys. Rev. Lett. **98**, 172301 (2007).
- [15] Y. Akamatsu *et. al.*, Phys. Rev. **C 80**, 031901 (2009).
- [16] K. Aamodt *et al.* for the ALICE Collaboration, Phys. Lett. **B 696**, 30-39 (2011); G. Aad *et al.*, for the ATLAS Collaboration, Phys. Rev. Lett **105**, 252303 (2010); A. Angerami *et al.*, for the ATLAS Collaboration, arXiv:1108.5191; S. Chatrchyan *et al.*, for the CMS Collaboration, Phys. Rev. **C 84**, 024906 (2011); C. Roland *et al.*, for the CMS Collaboration, arXiv:1107.3106.
- [17] T. Masui and H. Satz, Phys. Lett. **B178**, 416 (1986).
- [18] A. Adare *et al.* for the PHENIX Collaboration, Phys. Rev. Lett. **98**, 232301 (2007).
- [19] P. Pillot *et al.*, for the ALICE Collaboration, arXiv:1108.3795; C. Silvestre *et al.*, for the CMS Collaboration, arXiv:1108.5077.
- [20] A. Adare, *et. al.*, (PHENIX Collaboration), Phys. Rev. **C 81**, 034911 (2010).
- [21] A. Adare, *et. al.*, (PHENIX Collaboration), arXiv:1105.4126.
- [22] T. Hirano *et al.*, J. Phys. G: Nucl. Part. Phys. **34**, S879 (2007); P. Romatschke, *et al.*, Phys. Rev. **C 78**, 034915 (2008).
- [23] R. Averbeck *et al.*, J. Phys. G: Nucl. Part. Phys. **35** 104115 (2008); R. Lacey *et al.*, Phys. Rev. Lett. **98**, 092301 (2007); H.-J. Drescher et al.: arXiv:0704.3553; S. Gavin and M. Abdel-Aziz, Phys. Rev. Lett **97**, 162302 (2006).
- [24] R. Lacey *et al.*, for the PHENIX Collaboration, arXiv:1108.0457; J. Jia *et al.*, for the ATLAS Collaboration, arXiv:1107.1468; R. Snellings *et al.*, for the ALICE Collaboration, arXiv:1106.6284.
- [25] Altarelli G and Parisi G, Nucl. Phys. **B 126**, 298 (1977); Kuraev E A, *et al.*, Zh. Eksp. Teor. Fiz. **72**, 3 (1977); Balisky II, *et al.*, Sov. J. Nucl. Phys. **28**, 822 (1978).
- [26] L.D. McLerran and R. Venugopalan, Phys. Rev. **D 49**, 2233 (1994); Y.V. Kovchegov, Phys. Rev. **D 54**, 5463 (1996); I. Balisky, Nucl. Phys. **B 463**, 99 (1996).
- [27] R. J. Fries, J. I. Kapusta and Y. Li, arXiv:nucl-th/0604054; T. Lappi and L. McLerran, Nucl. Phys. **A772**, 200 (2006).
- [28] P. Arnold, G. Moore, and L. Yaffe, Phys. Rev. **D 72**, 054003 (2005); H. Fujii, K. Itakura, Nucl. Phys. **A809**, 88 (2008); A. Dumitru, Y. Nara and M. Strickland, Phys. Rev. **D75**, 025016 (2007).

- [29] Y. Hama, *et al.*, J.Phys. 35, 24 (2005); R. Andrade, *et al.*, Phys. Rev. Lett. **97**, 202302 (2006); R. Andrade *et al.*, Phys. Rev. Lett. **101**, 112301 (2008); H. Petersen *et al.*, Phys. Rev. **C79**, 054904 (2009), Phys. Rev. **C81**, 044906 (2010); K. Werner *et al.*, arXiv:1004.0805 [nucl-th]; H. Holopainen, *et al.*, arXiv:1007.0368 [hep-ph].
- [30] H. Song, *et al.*, Phys.Lett. **B658**, 279-283 (2008), Phys.Rev. **C77**, 064901 (2008), Phys.Rev. **C78**, 024902 (2008); C. Shen, *et al.*, Phys.Rev. **C82**, 054904 (2010).
- [31] A. Dumitru *et al.*, Nucl.Phys. **A810**, 91-108 (2008).
- [32] A. Sickles, *et al.*, for the PHENIX Collaboration, arXiv:1107.2035.
- [33] T. Peitzmann, *et al.*, for the ALICE Collaboration, arXiv:1106.5807.
- [34] <https://na61.web.cern.ch/na61/xc/index.html>
- [35] K. Redlich, J. Phys.: Conf. Ser. **5**, 162 (2005).
- [36] B.I. Abele, *et al.*, (STAR), Phys.Rev. **bf C79**, 034909 (2009).
- [37] E802 Collab., L. Ahle *et al.*, Phys. Rev. **C 60**, 064901 (1999); E877 Collab., J. Barette *et al.*, Phys. Rev. **C 62**, 024901 (2000); E917 Collaboration, B.B. Back *et al.*, Phys. Rev. **C 66**, 054901 (2002); NA49 Collab., H. Appelshauser *et al.*, Phys. Rev. Lett. **82**, 2471 (1999); BRAHMS Collab., I.G. Bearden *et. al.*, Phys. Rev. Lett. **93**, 102301 (2004).
- [38] L. Kumar, *et al.*, for the STAR Collaboration, arXiv:1106.6071.
- [39] A. Andronic, *et al.*, arXiv:0911.4806.
- [40] K. Aamodt, *et al.*, (ALICE), Phys. Rev. Lett. **105**, 252302 (2010).
- [41] B. Mohanty, *et al.*, (STAR), J. Phys. G **G38**, 124023 (2011).
- [42] M. Mitrovski, *et al.*, (NA49), J. Phys. G: Nucl. Part. Phys.37:094003 (2010).
- [43] Review として, R. S. Hayano and T. Hatsuda, Rev. Mod. Phys. Vol. 82, (2010), 2949.
- [44] T. Hatsuda, S. H. Lee, Phys. Rev. **C 46**, 34-38 (1992).
- [45] M. Naruki, *et al.*, Phys.Rev.Lett. **96**, 092301 (2006); R. Muto *et al.*, Phys. Rev. Lett. **98**, 042501 (2007).
- [46] A. Agakichiev *et al.*, Phys. Rev. Lett. **75**, 1272 (1995). A. Agakichiev *et al.*, Eur. Phys. J. **C4**, 231 (1998).
- [47] R. Arnaldi *et al.*, Phys. Rev. Lett. **96**, 162302 (2006). R. Arnaldi *et al.*, Eur. Phys. J. **C64**, 1 (2009).
- [48] A. Adare *et al.*, Phys. Rev. **C 81**, 034911 (2010).

- [49] J. Randrup and J. Cleymans, Phys. Rev. **C 74**, 047901 (2006).
- [50] Yu. B. Ivanov, *et al.*, Phys. Rev. **C 73**, 044904 (2006).
- [51] Y. Nara *et al.*, Phys. Rev. **C 61**, 024901 (2000), 1-19; <http://nuclth.kek.jp/jhf02/ohnishi.pdf>; <http://indico.cns.s.u-tokyo.ac.jp/conferenceDisplay.py?confId=64>
- [52] F. Karsch, M. Kitazawa, Phys.Rev. **D 80**, 056001 (2009).
- [53] D. Kharzeev, *et al.*, Nucl. Phys. **A803**, 227 (2008); H. Warringa, J. Phys. G35, 104012 (2008); K. Fukushima, *et al.*, Phys. Rev. **D 78**, 074033 (2008).
- [54] Y. Burnier, D. Kharzeev, J. Liao, H.U. Yee, Phys.Rev.Lett. **107**, 052303 (2011).
- [55] K. Itakura, K. Hattori, arXiv:1206.3022.
- [56] S. Cho *et al.* (ExHIC Collaboration), Phys. Rev. Lett. **106**, 212001 (2011).
- [57] STAR Collaboration, Nature 473, 353-356 (2011).
- [58] J. H. Chen *et al.*, (STAR collaboration), Nucl. Phys. **A 835**, 117-120 (2010).
- [59] A. Andronic and P. Braun-Munzinger *et.al.*, Phys. Lett. **B 697**, 203 (2011).
- [60] STAR Collaboration, Science 328, 58 (2010).
- [61] [http://www.rcnp.osaka-u.ac.jp/~jparchua/share/jparc\\_propsepcts.pdf](http://www.rcnp.osaka-u.ac.jp/~jparchua/share/jparc_propsepcts.pdf)
- [62] <http://nica.jinr.ru/>
- [63] [http://www.gsi.de/forschung/fair\\_experiments/CBM/index\\_e.html](http://www.gsi.de/forschung/fair_experiments/CBM/index_e.html); CBM Physics Book [http://www.gsi.de/forschung/fair\\_experiments/CBM/PhysicsBook\\_e.html](http://www.gsi.de/forschung/fair_experiments/CBM/PhysicsBook_e.html)
- [64] P. Kovtun, D.T.Son, A.O.Starinets, hys.Rev.Lett. **94**, 111601 (2005).
- [65] T. Suzuki and R. Shimano, Phys. Rev. Lett. **103**, 057401 (2009).
- [66] J. E. Thomas, Nucl. Phy. A **830**, 665c (2009).